

## شناسایی و عیب‌یابی سازه تیری‌شکل با استفاده از سیگنال‌های ارتعاشی بر پایه مدل شبیه‌سازی‌شده، حالت سالم واقعی و شبکه عصبی کانولوشنال عمیق

زهره موسوی<sup>۱</sup>، میر محمد اتفاق<sup>۱\*</sup>، مرتضی همایون صادقی<sup>۱</sup>، سید ناصر رضوی<sup>۲</sup>

۱- دانشکده مهندسی مکانیک، دانشگاه تبریز، تبریز، ایران

۲- دانشکده مهندسی برق و کامپیوتر، دانشگاه تبریز، تبریز، ایران

### تاریخچه داوری:

دریافت: ۱۳۹۸/۰۸/۲۲

بازنگری: ۱۳۹۸/۱۱/۲۱

پذیرش: ۱۳۹۹/۰۲/۱۴

ارائه آنلاین: ۱۳۹۹/۰۳/۰۵

### كلمات کلیدی:

پایش وضعیت

سازه تیری‌شکل

سیگنال ارتعاشی

شبکه عصبی عمیق

**خلاصه:** پایش وضعیت سیستم‌های مکانیکی اعم از سازه‌ها، ماشین‌های دوار همواره یکی از چالش‌های مهم محسوب می‌شود. در این مقاله روش جدیدی برای شناسایی و عیب‌یابی سازه تیری‌شکل در حضور عدم قطعیت‌هایی مانند خطاها مدل سازی، خطاها ای اندازه‌گیری، تغییرات بارگذاری و نویزهای محیطی بر پایه مدل شبیه‌سازی‌شده و حالت سالم واقعی ارائه شده است. در این روش، داده‌های سیستم سالم واقعی برای بهروزرسانی پارامترهای مدل شبیه‌سازی‌شده استفاده شده است. برخی از بخش‌های سیگنال که مریوط به ذات سیستم نیستند با استفاده از روش تجزیه مود تجربی دسته‌ای کامل، حذف شده‌اند. یک شبکه عصبی کانولوشنال عمیق، به‌منظور یادگیری ویژگی‌های حساس به عیب از داده خام فرکانسی مدل شبیه‌سازی‌شده و حالت سالم واقعی طراحی شده است. داده‌های خام فرکانسی با استفاده از روش چگالی طیفی توان از سیگنال‌های ارتعاشی استخراج شده‌اند. به‌منظور آموزش شبکه عمیق پیشنهادی از داده‌های خام فرکانسی مدل شبیه‌سازی‌شده و حالت سالم واقعی استفاده می‌شود. پس از آن داده‌های خام فرکانسی مدل واقعی برای ارزیابی شبکه عمیق پیشنهادی استفاده می‌شود. روش پیشنهادی با استفاده از سازه تیری‌شکل صحت بالاتری نسبت حاصل نشان می‌دهد که استفاده از الگوریتم پیشنهادی برای شناسایی و عیب‌یابی سازه تیری‌شکل صحت بالاتری نسبت به سایر روش‌های مقایسه‌ای دارد.

### ۱- مقدمه

از عوامل مختلفی مانند افزایش بارگذاری و تغییر شرایط محیطی هستند. انجام تستهای تجربی برای سیستم‌های مکانیکی پیچیده واقعی به‌خصوص در حالت‌های معیوب، بسیار پرهزینه است، ازین‌رو با گسترش سیستمهای کامپیوترا، استفاده از مدل سازی دینامیکی به‌منظور شناسایی و عیب‌یابی سیستم‌های مکانیکی می‌تواند ضمن کاهش هزینه‌ها، راهکاری مفید باشد.

در سال‌های اخیر استفاده از شبکه‌های عصبی<sup>۱</sup> به‌ویژه شبکه‌های عصبی عمیق<sup>۲</sup> مورد توجه بسیاری از محققان قرار گرفته است [۱]. عملکرد شبکه‌های عصبی تا حد زیادی تحت تأثیر ویژگی‌های ورودی

سیستم‌های مکانیکی به‌طور گسترده در صنعت به کار گرفته شده‌اند و از جمله تجهیزات کلیدی و مهم به شمار می‌آیند. سیگنال‌های ارتعاشی گرفته شده از این سیستم‌ها حاوی اطلاعات مفیدی بوده و با بررسی ویژگی‌های فیزیکی این سیگنال‌ها، می‌توان به وجود عیب در بخش‌های مختلف آن‌ها پی برد. پایش وضعیت سیستم‌های مکانیکی، روندی است که با تشخیص به موقع عیب در قسمت‌های مختلف سیستم، می‌توان از توقف کامل و بروز خسارات جانی و مالی جلوگیری کرد. پایش وضعیت سیستم‌های مکانیکی می‌تواند باعث کاهش آسیب‌ها و افزایش طول عمر آن‌ها شود. این آسیب‌ها ناشی

\*نویسنده عهددار مکاتبات: ettefagh@tabrizu.ac.ir

۱ Artificial Neural Networks (ANNs)

۲ Deep Neural Networks (DNNs)

حقوق مؤلفین به نویسنده‌گان و حقوق ناشر به انتشارات دانشگاه امیرکبیر مددی (Creative Commons License) در دسترس شما قرار گرفته است. برای جزئیات این لیسانس، از آدرس <https://www.creativecommons.org/licenses/by-nc/4.0/legalcode> دیدن فرمائید.



مکانیکی بسیار مؤثر هستند. در آخر با مقایسه این روش با روش‌های تشخیصی که معمولاً استفاده می‌شوند، برترین روش پیشنهادی تائید شد. ژانگ و همکاران [۷] یک مدل جدید یادگیری عمیق را برای تشخیص عیوب مختلف ماشین دوار تحت محیط نویزی ارائه دادند. آن‌ها از سیگنال ارتعاشی بدون هیچ‌گونه پردازشی به عنوان ورودی شبکه استفاده کردند. در این پژوهش بارگذاری‌های داده‌های آموزش و آزمایش متفاوت بودند. آن‌ها از فیلترهایی با سایز بزرگ در لایه اول کانولوشنال برای استخراج ویژگی‌های مطلوب و سرکوب نویزهای فرکانس بالا و از فیلترهای با سایز کوچک برای بقیه لایه‌های کانولوشنال استفاده کردند. همچنین برای سازگاری محیط داده‌های آزمایش با مدل پیشنهادی از ویژگی‌های آماری داده‌های آزمایش در مدل نیز استفاده کردند. نتایج نشان داد که روش پیشنهادی از دقت بالایی نسبت به مطالعات پیشین برخوردار است. جینگ و همکاران [۳] روشی را بر پایه یادگیری عمیق برای عیوب‌یابی ماشین دوار ارائه دادند. در این پژوهش یک شبکه کانولوشنال عمیق برای یادگیری ویژگی‌های از داده‌های فرکانسی سیگنال‌های ارتعاشی ارائه شد. نتایج روش پیشنهادی با داده‌های زمانی و زمان-فرکانسی نیز مقایسه شد و نتایج نشان داد که روش پیشنهادی قادر است ویژگی‌ها را از داده‌های فرکانسی به طور خودکار استخراج کند و دقت بالاتری نسبت به روش‌های مقایسه‌ای به دست آورد. از آنجاکه استخراج داده‌های معیوب سازه واقعی تحت بارگذاری‌های مختلف عملأً غیرممکن است، لذا استفاده از روش‌های مبتنی بر داده واقعی، رفتارهای در حال کاهش است؛ بنابراین استفاده از داده‌های مصنوعی بر پایه مدل دینامیکی شبیه‌سازی شده می‌تواند راه حل مفیدی باشد.

مدل شبیه‌سازی شده بر پایه المان محدود که به صورت شناخته شده امروزی است، توسط تورنر و همکارانش برای تحلیل سازه هوایی استفاده شد و به عنوان یکی از پیشرفت‌های کلیدی در توسعه روش عناصر محدود ارائه شد [۸]. لین و همکاران [۹] به بررسی تشخیص عیوب سازه تیری شکل و استخراج ویژگی‌ها با استفاده از یادگیری عمیق پرداختند. آن‌ها پاسخ‌های دینامیکی را برای سناریوهای مختلف عیب از طریق مدل المان محدود به دست آورده‌اند و نشان دادند که در شبکه‌های عمیق کانولوشنال لایه‌ها به عنوان فیلترهای عبور باند نقش دارند که مرکز آن‌ها فرکانس‌های طبیعی سازه است. همچنین نشان دادند که وقتی لایه‌ها عمیق‌تر می‌شوند، شبکه حتی مفهوم مود

هستند، لذا نقاط ضعف در ویژگی‌های ورودی مانند حساسیت به نویز، ممکن است که از عملکرد بهتر شبکه‌های عصبی جلوگیری نماید. شبکه‌های عصبی عمیق به طور گستردۀ و با موفقیت‌های زیادی در پردازش تصویر و سیگنال‌ها در حوزه زمان و فرکانس مورد استفاده قرار گرفته است [۴-۲]. الگوریتم‌های یادگیری عمیق زیرمجموعه‌ای از الگوریتم‌های یادگیری ماشین هستند که هدف آن‌ها کشف چندین سطح از بازنمایی توزیع شده از داده‌های ورودی است. برخی از مزایای الگوریتم‌های یادگیری عمیق نسبت به الگوریتم‌های یادگیری ماشین عبارت‌اند از؛ در این الگوریتم‌ها به صورت خودکار استخراج ویژگی‌ها و کاهش آن‌ها صورت می‌پذیرد، همچنین دقت این الگوریتم‌ها نسبت به الگوریتم‌های یادگیری ماشین بیشتر است. در مقابل این مزایا، این الگوریتم‌ها معایبی نیز دارند که برخی از این معایب عبارت‌اند از؛ این الگوریتم‌ها نیازمند مجموعه داده‌های آموزشی نسبتاً زیادی هستند که جمع‌آوری داده‌های حجمی امری زمان بر است.

داده‌های سیستم‌های مکانیکی را می‌توان به دو دسته کلی مصنوعی و واقعی تقسیم کرد. داده‌های واقعی را می‌توان از سیستم‌های واقعی یا سیستم‌های آزمایشگاهی به دست آورد. عبدالجبار و همکاران [۵] از شبکه عصبی کانولوشنال عمیق<sup>۱</sup> برای شناسایی عیوب سازه خرپا شکل استفاده کردند. آن‌ها بیان کردند که روش پیشنهادی آن‌ها، علاوه بر اینکه ویژگی‌ها را به صورت خودکار استخراج می‌کند، دقت بالاتری نیز نسبت به پژوهش‌های پیشین دارد. در پژوهش‌های پیشین شبکه‌های عمیق برای آموزش، نیازمند اندازه‌گیری‌های قابل توجهی به ویژه در سازه‌های بزرگ بودند، لذا به منظور غلبه بر این محدودیت، آن‌ها روشی مبتنی بر شبکه کانولوشنال ارائه دادند که نیاز به دو مجموعه اندازه‌گیری، صرف‌نظر از اندازه سازه داشت. جی و همکاران [۶] از یک شبکه عصبی عمیق خود رمزنگار<sup>۲</sup> برای تشخیص عیوب ماشین‌آلات دوار استفاده کردند. آن‌ها بیان کردند که این شبکه توانایی بالایی در استخراج ویژگی‌های عیب از سیگنال‌های ارتعاشی، به صورت خودکار دارد. در این پژوهش از سیگنال‌های جعبه‌دنده و یاتاقان برای اعتبارسنجی استفاده شده است. روش ارائه شده نشان داد که ویژگی‌های آموخته شده معنی دار، غیرتکراری و تغییرناپذیر بوده، لذا برای پایش وضعیت سیستم‌های

<sup>1</sup> Deep Convolutional Neural Network (DCNN)

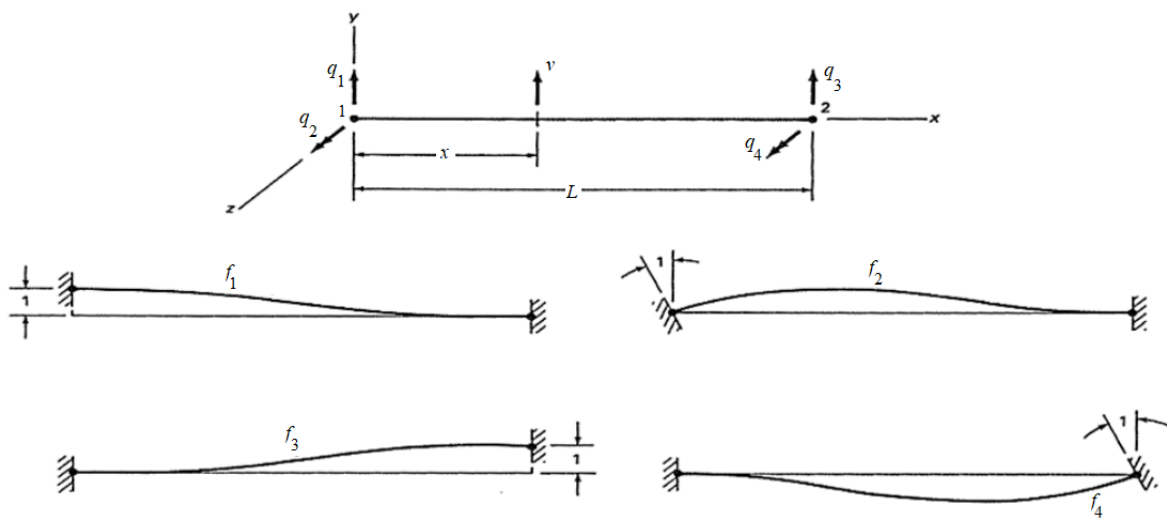
<sup>2</sup> Autoencoder (AE)

سیستم واقعی را با دقت نسبتاً خوبی پیش‌بینی کرد. فلاخیان و همکاران [۱۳] روشی را برای ارزیابی عیوب سازه‌ها تحت تغییرات دما ارائه دادند. در این مطالعه، از یک روش ترکیبی بر پایه شبکه‌های عمیق استفاده شد. روش بیان شده با مدل عددی به‌روزرسانی شده سازه پل و داده‌های آزمایشگاهی این سازه ارزیابی شد. نتایج نشان داد که روش ارائه شده در تشخیص عیوب سازه تحت تغییرات دما نسبت به روش‌های مقایسه‌ای عملکرد بهتری دارد.

بر اساس مطالعات پیشین، به‌طور کلی استخراج داده‌های معیوب از سیستم‌ها به دو صورت انجام شده است؛ (۱) استخراج داده‌ها از سیستم واقعی یا سیستم آزمایشگاهی؛ استخراج داده‌های معیوب از سیستم واقعی عملاً امکان‌پذیر نیست و به‌طور کلی فقط داده‌های حالت سالم را می‌توان از آن استخراج نمود. همچنین ساخت سیستم‌های پیچیده مکانیکی در آزمایشگاه و استخراج داده‌ها از آن‌ها عملاً غیرممکن و پرهزینه است و فقط می‌توان سازه‌های ساده دینامیکی را در آزمایشگاه مدل کرد. (۲) استخراج داده‌ها از مدل دینامیکی شبیه‌سازی شده؛ بین پاسخ دینامیکی سیستم‌های واقعی مکانیکی با پاسخ دینامیکی گرفته شده از مدل شبیه‌سازی شده به دلیل عدم قطعیت‌های موجود مانند خطاهای مدل‌سازی، خطاهای اندازه‌گیری، تغییرات بارگذاری و نویزهای محیطی تا حدی اختلاف وجود دارد. در پیشتر مطالعات پیشین برای نزدیک کردن پاسخهای دینامیکی مدل ساده شبیه‌سازی شده به مدل واقعی از روش به‌روزرسانی پارامترهای مدل شبیه‌سازی شده استفاده شده است. نحوه به‌روزرسانی پارامترهای مدل دینامیکی یا از طریق مقایسه داده‌های سالم و معیوب مدل دینامیکی با داده‌های سالم و معیوب مدل واقعی، یا با مقایسه داده‌های سالم مدل دینامیکی با داده‌های سالم مدل واقعی انجام می‌گیرد. همان‌طور که بیان شد استخراج داده‌های معیوب از مدل واقعی پرهزینه و عملاً غیرممکن است؛ بنابراین، استفاده از داده‌های معیوب برای به‌روزرسانی مدل شبیه‌سازی شده عملاً امکان‌پذیر نیست. همچنین می‌توان بیان کرد که بیشتر ویژگی‌های بهینه‌ای نیستند، زیرا فن بر پایه پردازش سیگنال و آمار ویژگی‌های بهینه‌ای نیستند، حتی محققین با تجربه ممکن است مدت‌زمان زیادی را برای آزمایش اینکه، کدام شاخص آماری یا کدام روش پردازش سیگنال و یا مشتقات آن‌ها، به عیب سازه حساس هستند، اختصاص دهند. همچنین استخراج ویژگی‌ها از یک سیستم مکانیکی به سیستم مکانیکی دیگر

سازه‌ای را نیز به صورت مستقل یاد می‌گیرد. آن‌ها بیان کردند که روش پیشنهادی ارائه شده قابل اعمال و تعیین به سیستم‌های مکانیکی دیگر نیز است. جو و همکاران [۱۰] روشی برای تشخیص عیوب سازه جلت دریایی<sup>۱</sup> با استفاده از پارامترهای مodal و شبکه‌های عصبی پیشنهاد دادند. آن‌ها با استفاده از مدل المان محدود سازه جلت، سناریوهای عیب را با کاهش مدول الاستیسیته در المان‌ها، ایجاد کردند و از پارامترهای مodal مدل المان محدود به عنوان ورودی شبکه استفاده کردند. نتایج نشان داد که روش ذکر شده از دقت قابل توجهی برخوردار است. یکی از مشکلاتی که در حین استفاده از مدل شبیه‌سازی شده به جای سیستم واقعی پیش می‌آید، اختلاف بین داده‌های مدل شبیه‌سازی شده با داده‌های سیستم واقعی است. با استفاده از تکنیک به‌روزرسانی پارامترهای مدل شبیه‌سازی شده بر پایه داده حالت سالم واقعی، می‌توان تا حدی مدل شبیه‌سازی شده را به سیستم واقعی نزدیک کرد و درنهایت ویژگی‌های مشترک بین آن‌ها را به دست آورد.

روش‌های سنتی استخراج ویژگی، به‌خوبی قادر به استخراج ویژگی‌های حساس به عیب که بین مدل شبیه‌سازی شده و سیستم واقعی مشترک باشند، نیستند؛ بنابراین استفاده از روش‌های که بتوانند ویژگی‌های حساس به عیب را به صورت خودکار از داده‌ها استخراج نمایند، امری ضروری تلقی می‌گردد. جو و همکاران [۱۱] به بررسی شناسایی عیب سازه تیری شکل بر پایه مدل المان محدود، تحت شرایط دمایی مختلف با استفاده از شبکه‌های عصبی پرداختند. در این پژوهش از تغییرات دما همراه با فرکانس‌های طبیعی به عنوان ورودی شبکه استفاده شده است. آن‌ها از یک شاخص جدید برای تشخیص اختلاف بین الگوهای حالت سالم و معیوب استفاده کردند. برای ارزیابی روش بیان شده، از یک سازه تیری شکل آزمایشگاهی استفاده شد. نتایج نشان داد که روش پیشنهادی همراه با شاخص جدید ارائه شده، توانایی تشخیص عیوب سازه آزمایشگاهی تحت تغییرات دما و محیط نویزی را دارد. چن و همکاران [۱۲] اختلاف بین داده‌های واقعی و مصنوعی را برای تشخیص عیب یاتاقان بر پایه شبکه عصبی عمیق مورد بررسی قرار دادند. در این شبکه، سیگنال‌های خام به عنوان ورودی شبکه عمیق استفاده شدند. نتایج نشان داد که با آموزش شبکه عمیق با داده‌های عیب مصنوعی، می‌توان عیب‌های



شکل ۱. المان خمشی [14].

Fig. 1. Bending element [14].

فقط داده حالت سالم در اختیار است، بنابراین ارائه دادن روشی برای عیب‌یابی سیستم‌های مکانیکی بر پایه عیوب‌های شبیه‌سازی شده و داده حالت سالم واقعی، لازم و ضروری است. بر این اساس، سومین هدف این مقاله آموزش دادن شبکه عمیق پیشنهادی بر اساس داده‌های فرکانسی مدل شبیه‌سازی شده تحت بارگذاری ساده و حالت سالم واقعی است و سپس ارزیابی شبکه عمیق با داده‌های فرکانسی مدل واقعی تحت بارگذاری پیچیده‌تر (بهمنظور فرضیات واقع‌بینانه‌تر) است. در روش پیشنهادی، بهروزرسانی پارامترهای مدل شبیه‌سازی شده بر پایه داده‌های سالم مدل واقعی انجام گرفته است. برخی از بخش‌های سیگنال‌ها که مربوط به ذات سیستم نیستند با استفاده از روش تجزیه مود تجربی دسته‌ای کامل<sup>۱</sup> حذف شده‌اند. داده‌های فرکانسی با استفاده از روش چگالی طیفی توان<sup>۲</sup> از سیگنال‌های ارتعاشی به دست آمده‌اند. برای ارزیابی روش پیشنهادی از سازه تبری‌شکل در محیط آزمایشگاهی تحت بارگذاری پیچیده به عنوان یک مطالعه موردی استفاده شده است.

ادامه مقاله به صورت زیر تدوین شده است؛ در بخش ۲ مواد و روش‌ها بررسی خواهد شد. در بخش ۳، الگوریتم پیشنهادی مورد

متفاوت بوده و نمی‌توان بیان کرد که ویژگی‌های انتخابی برای یک مسئله برای مسئله دیگر هم قابل قبول است؛ بنابراین استفاده از روش‌های که بتوانند ویژگی‌های حساس به عیوب را به صورت خودکار از داده‌های هر سیستم استخراج نمایند، امری ضروری تلقی می‌گردد. بر اساس مشکلات ارائه شده در مطالعات پیشین، در این مقاله روش جدیدی برای پایش وضعیت سیستم‌های مکانیکی ارائه شده است. اولین هدف این مقاله ارائه دادن روشی برای عیب‌یابی سیستم‌های مکانیکی در حضور عدم قطعیت‌هایی مانند خطاهای مدل‌سازی، خطاهای اندازه‌گیری، تغییرات بارگذاری و نویزهای محیطی است. همان‌طور که بیان شد یادگیری عمیق به‌طور گستردۀ و با موفقیت‌های زیادی در پردازش تصویر و سیگنال‌ها در حوزه زمان و فرکانس مورد استفاده قرار گرفته است. یکی از مزایای استفاده از یادگیری عمیق این است که در حضور عدم قطعیت مختلف می‌تواند ویژگی‌های حساس به عیوب را از داده‌ها بیاموزد. بر این اساس، دومین هدف این مقاله طراحی یک شبکه عصبی کانولوشنال عمیق، بهمنظور یادگیری ویژگی‌های حساس به عیوب از داده فرکانسی خام و عیب‌یابی سیستم مکانیکی واقعی در حضور عدم قطعیت‌های مختلف طراحی شده است. در محیط‌های صنعتی جمع‌آوری داده‌های معیوب تحت بارگذاری‌های مختلف دشوار و حتی غیرممکن است و به‌طور کلی

<sup>1</sup> Complete Ensemble Empirical Mode Decomposition (CEEMD)

<sup>2</sup> Power spectral Density (PSD)

با استفاده از همین روش می‌توان نیروهای گره‌ای را نیز به دست آورد:

$$p(t) = \{p_1, p_2, p_3, p_4\} = \{p_{y1}, M_{z1}, p_{y2}, M_{z2}\} \quad (4)$$

عبارات  $p_{y1}$  و  $p_{y2}$  نشانگر نیرو در جهت  $y$  و نمادهای  $M_{z1}$  و  $M_{z2}$  نشانگر گشتاور در جهت  $z$  در آن نقاط هستند.

برای المان خمی شکل ۱ یک ماتریس تابع شکل مکعبی به صورت رابطه زیر در نظر گرفته می‌شود [۱۴]:

استفاده در این مقاله ارائه داده می‌شود. در بخش ۴ نتایج شبیه‌سازی و مقایسه با روش‌های دیگر مورد بحث قرار می‌گیرد؛ درنهایت، بخش ۵ مربوط به نتیجه‌گیری است.

## ۲- مواد و روش‌ها

در این بخش در ابتدا مدل‌سازی دینامیکی و آزمایشگاهی سازه تیری شکل، به عنوان یک مطالعه موردنی، شرح داده می‌شود. پس از آن روش تجزیه مود تجربی دسته‌ای کامل، شبکه‌های عصبی مصنوعی و شبکه‌های عصبی کانولوشنال بررسی خواهد شد.

$$H = \begin{Bmatrix} f_1 \\ f_2 \\ f_3 \\ f_4 \end{Bmatrix} = \begin{Bmatrix} 2\frac{x^3}{L^3} - 3\frac{x^2}{L^2} + 1 \\ \frac{x^3}{L^2} - 2\frac{x^2}{L} + x \\ -2\frac{x^3}{L^3} + 3\frac{x^2}{L^2} \\ \frac{x^3}{L^2} - \frac{x^2}{L} \end{Bmatrix} \quad (5)$$

این چهار تابع شکل در شکل ۱ قابل مشاهده هستند و  $L$  طول المان است. این توابع شکل نشان‌دهنده تغییرات ۷ در راستای طول المان به علت مقادیر واحد جابه‌جایی‌های گره‌ای  $q_1$  تا  $q_4$  است. این توابع شکل که از روش درون‌یابی به دست آمده‌اند، به توابع شکل مکعبی درون‌یاب هرمیتی<sup>۱</sup> معروف هستند. ماتریس‌های جرم و سفتی المان‌های تیر با استفاده از توابع شکل درون‌یاب هرمیتی قابل استخراج هستند درنتیجه برای هر المان خواهیم داشت [۱۴]:

$$M_e = \frac{\rho AL}{420} \begin{bmatrix} 156 & 22L & 54 & -13L \\ 22L & 4L^2 & 13L & -3L^2 \\ 54 & 13L & 156 & -22L \\ -13L & -3L^2 & -22L & 4L^2 \end{bmatrix} \quad (6)$$

۱-۲- مدل‌سازی سازه تیری شکل با روش المان محدود با درنظر گرفتن تغییر شکل‌های کوچک و رفتار خطی سیستم، یک مدل المان محدود "اولیه" از تیر اویلر-برنولی دو سر مفصل با استفاده از نرم‌افزار متلب ایجاد شده است. اصطلاح "اولیه" نشان می‌دهد که مدل المان محدود به دلیل عدم قطعیت‌های مختلف می‌تواند دقیق نباشد؛ بنابراین، مدل اولیه مبنای برای به روزرسانی پارامترهای مدل در نظر گرفته می‌شود. شکل ۱ یک المان خمی را نشان می‌دهد که صفحه  $yx$  صفحه اصلی خمی است [۱۴]. مطابق شکل ۱ جابه‌جایی کلی ۷ در جهت  $y$  حرکت می‌کند؛ بنابراین:

$$u(t) = v \quad (1)$$

یک نیروی متناظر  $b_y$  (نیروی واحد طول) نیز در جهت  $y$  اثر می‌کند؛ بنابراین:

$$b(t) = b_y \quad (2)$$

در شکل ۱ در گره ۱ دو جابه‌جایی گره‌ای  $q_1$  و  $q_2$  داریم که  $q_1$  حرکت انتقالی در جهت  $y$  و  $q_2$  چرخش در جهت  $z$  است. به طور مشابه در گره ۲ جابه‌جایی‌های گره‌ای  $q_3$  و  $q_4$  را داریم؛ بنابراین بردار جابه‌جایی را می‌توان به این صورت نوشت:

$$q(t) = \{q_1, q_2, q_3, q_4\} = \{v_1, \theta_{z1}, v_2, \theta_{z2}\} \quad (3)$$

<sup>۱</sup> Hermitian Cubic Interpolation Shape Function

که  $\theta_{z2} = \frac{dv_2}{dx}$  و  $\theta_{z1} = \frac{dv_1}{dx}$  است.

که در رابطه قبل  $Z$ ،  $\dot{Z}$  و  $\ddot{Z}$  به ترتیب بردارهای جابه‌جایی، سرعت و شتاب گره‌های سازه تیری‌شکل هستند. جهت حل معادله (۱۱) از روش ode45 در نرم‌افزار متلب استفاده می‌شود؛ بنابراین باید معادلات به فرم قابل حل برای متلب استخراج شوند. فرم قابل حل برای دستور ode45 به صورت  $\dot{Y} = T(Y, t)$  است. لذا باید معادله (۱۱) به این فرم بازنویسی شود. بدین منظور چنین فرض می‌شود:

$$Z = Y_1 \quad \& \quad \dot{Z} = Y_2 \quad (12)$$

$$K_e = \frac{2EI}{L^3} \begin{bmatrix} 6 & 3L & -6 & 3L \\ 3L & 2L^2 & -3L & L^2 \\ -6 & -3L & 6 & -3L \\ 3L & L^2 & -3L & 2L^2 \end{bmatrix} \quad (17)$$

که در آن  $I$ ،  $A$  و  $E$  به ترتیب ممان اینرسی، مساحت سطح مقطع، چگالی و مدول یانگ را نشان می‌دهند. معمولاً در سیستم‌ها با درجات آزادی بالا ماتریس دمپینگ به صورت مجموع ضرایبی از ماتریس‌های جرم و سفتی به صورت زیر تعریف می‌شود [۱۵]:

پس خواهیم داشت:

$$[C_b] = \bar{\alpha}[M_b] + \bar{\beta}[K_b] \quad (18)$$

$$\dot{Y}_1 = Y_2 \quad (13)$$

همچنین در این صورت معادله (۱۱) به صورت زیر بازنویسی می‌شود:

که به این نوع میرایی، میرایی تناسبی می‌گویند.  $M_b$ ،  $K_b$  و  $C_b$  به ترتیب ماتریس جرم، سفتی و میرایی کل سازه را نشان می‌دهند. برای سیستم با درجات آزادی بالا، حدس اولیه منطقی برای ضرایب  $\bar{\alpha}$  و  $\bar{\beta}$  مربوط به میرایی تناسبی دشوار است. برای غلبه‌کردن بر این مشکل می‌توان تخمین منطقی مقادیر  $\bar{\alpha}$  و  $\bar{\beta}$  را به صورت زیر ارائه نمود [۱۵]:

$$M_b \dot{Y}_2 + C_b Y_2 + K_b Y_1 = F(t) \quad (14)$$

$$\bar{\beta} = \frac{2\zeta_1\omega_1 - 2\zeta_2\omega_2}{\omega_1^2 - \omega_2^2} \quad (9)$$

حال اگر معادله (۱۴) به صورت ماتریسی نوشته شود، خواهیم داشت:

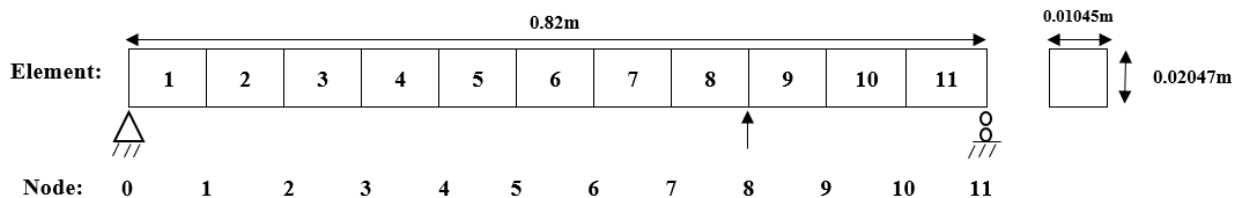
$$2\zeta_1\omega_1 = \bar{\alpha} + \bar{\beta}\omega_1^2 \quad (10)$$

$$\begin{bmatrix} I_n & 0 \\ 0 & M_b \end{bmatrix} \begin{Bmatrix} \dot{Y}_1 \\ \dot{Y}_2 \end{Bmatrix} + \begin{bmatrix} 0 & -I_n \\ K_b & C_b \end{bmatrix} \begin{Bmatrix} Y_1 \\ Y_2 \end{Bmatrix} = \begin{Bmatrix} 0 \\ F(t) \end{Bmatrix} \quad (15)$$

که در فرمول‌های بالا  $\zeta_1$  نسبت دمپینگ برای مود اول سیستم،  $\omega_1$  فرکانس طبیعی اول سیستم،  $\zeta_2$  نسبت دمپینگ برای مود دوم سیستم و  $\omega_2$  فرکانس طبیعی دوم سیستم است. با درنظرگرفتن میرایی تناسبی برای سازه تیری‌شکل و اعمال شرایط مرزی، معادله ارتعاشی کل تیر را می‌توان به صورت زیر نوشت [۱۶]:

درنهایت معادله به صورت زیر نوشته می‌شود:

$$M_b \ddot{Z} + C_b \dot{Z} + K_b Z = F(t) \quad (11)$$



شکل ۲: مدل المان محدود تیر

Fig. 2. The FE beam model.



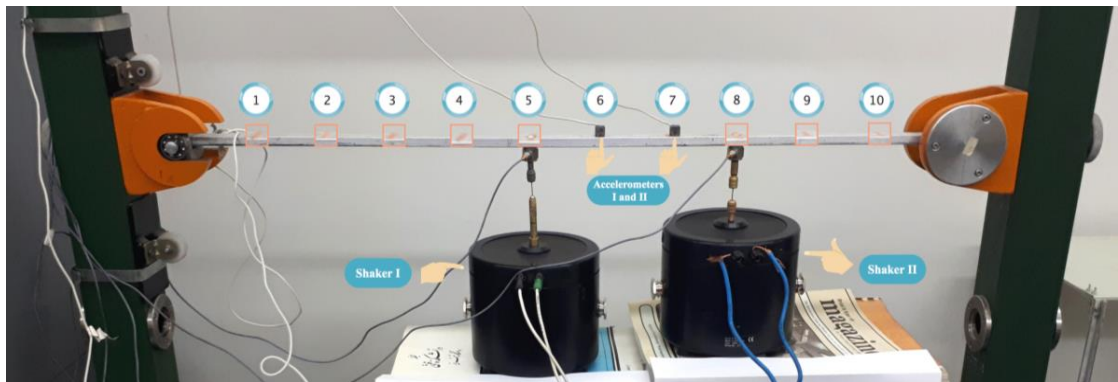
شکل ۳. تجهیزات آزمایشگاهی: (۱) سیستم جمع آوری داده پالس (۲) لرزاننده (۳) شتاب سنج (۴) نیرو سنج (۵) لپ تاپ (۶) آمپلی فایر (۷) کابل های انتقال.

Fig. 3. Experimental equipment: (1) Pulse Data acquisition (2) shaker (3) accelerometer (4) force transducer (5) windows-based laptop (6) power amplifier (7) signal transfer cable.

در این مقاله، سازه تیری شکل آلومینیومی با سطح مقطع مستطیلی با طول ۰/۸۲ متر، عرض ۰/۰۲۰۴۷ متر و ضخامت ۰/۰۱۰۴۵ متر استفاده شده است. ابعاد مدل المان محدود دقیقاً با توجه به ابعاد مدل آزمایشگاهی ایجاد شده است (شکل ۴). برای سازه تیری شکل، مدول یانگ اولیه ۷۰ گیگا پاسکال، ضریب پواسون ۰/۳۳ و چگالی ۲۷۱۰ کیلوگرم بر متر مکعب است. سازه به ۱۱ المان (از نود صفر تا نود ۱۱) گسترش سازی می شود که طول هر المان ۰/۰۷۴ متر است. مدل المان محدود تیر اویلر- برنولی دو سر مفصل در شکل ۲ آورده شده است.

$$\begin{Bmatrix} \dot{Y}_1 \\ \dot{Y}_2 \end{Bmatrix} = i\text{nv} \begin{bmatrix} I_n & 0 \\ 0 & M_b \end{bmatrix} \begin{Bmatrix} -\begin{bmatrix} 0 & -I_n \\ K_b & C_b \end{bmatrix} \begin{Bmatrix} Y_1 \\ Y_2 \end{Bmatrix} \\ + \begin{Bmatrix} 0 \\ F(t) \end{Bmatrix} \end{Bmatrix} \quad (16)$$

معادله (۱۶) همان فرم قابل حل روش بیان شده است. با جایگذاری ماتریس های  $K_b$ ,  $M_b$  و  $C_b$  در رابطه (۱۶)، پاسخ های دینامیکی سازه تیری شکل استخراج می شوند.



شکل ۴: تجهیزات آزمایشگاهی سازه تیری شکل.

Fig. 4. The experimental setup of the beam-like structure.



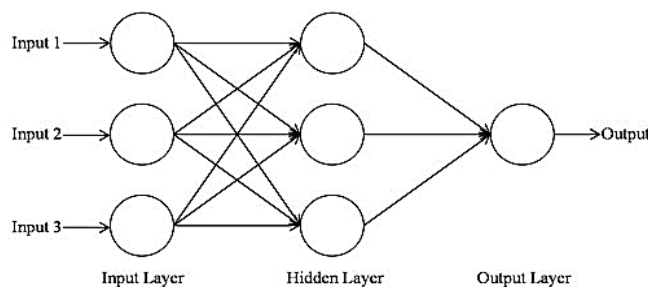
شکل ۵. بخش‌های مختلف تجهیزات آزمایشگاهی سازه تیری شکل.

Fig. 5. Different parts of the experimental setup of the beam-like structure.

سیستم جمع‌آوری داده پالس<sup>۱</sup>، دو لرزاننده<sup>۲</sup>، دو شتاب‌سنج، دو نیروسنج، یک لپ‌تاپ، دو آمپلی‌فایر و کابل‌های انتقال است. در شکل

<sup>1</sup> Pulse Data acquisition  
<sup>2</sup> Shaker

۲-۲- مجموعه تجهیزات آزمایشی سازه تیری شکل برای مدل‌سازی آزمایشگاهی، تجهیزات آزمایشگاهی سازه تیری شکل با تکیه‌گاه دو سر مفصل در آزمایشگاه دینامیک و ارتعاشات دانشگاه تبریز طراحی و نصب شد. تجهیزات آزمایشگاهی شامل یک



شکل ۶. مدل عمومی از یک شبکه عصبی [۱۹].

Fig. 6. General model of a neural network [19].

حالات‌های مختلف عیب با اضافه‌کردن جرم مرکز با شدت‌های مختلف در المان‌های مختلف سازه تکرار می‌شود. رویکردی مشابه با مدل آزمایشگاهی، برای مدل المان محدود نیز انجام می‌شود. پاسخ‌های شتاب‌سنجها از نودهای ۶ و ۷ مطابق با مدل آزمایشگاهی با فرکانس  $8/192$  کیلوهرتز از سازه استخراج شده و در نرم‌افزار متلب پردازش می‌شوند. تنها تفاوت مدل المان محدود با مدل آزمایشگاهی این است که مدل المان محدود تها از نود ۸ با نیروی تصادفی تحریک می‌شود (شکل ۲)، در صورتیکه مدل آزمایشگاهی از نودهای ۵ و ۸ با نیروی‌های تصادفی غیر همبسته تحریک می‌شوند (شکل ۴). جزئیات نحوه استخراج داده‌های هر دو مدل برای حالات‌های مختلف در بخش‌های ۱-۳ و ۲-۳ توضیح داده شده است. بخش‌های مختلف تجهیزات آزمایشگاهی سازه تیری‌شکل در شکل ۵ قابل مشاهده است.

### ۲-۳-تجزیه مود تجربی دسته‌ای کامل

تجزیه مود تجربی دسته‌ای کامل [۱۸] یک ابزار مناسب برای تحلیل سیگنال‌های غیرخطی و غیرثابت مانند سیگنال‌های ارتعاشی است. هر سیگنال با استفاده از روش تجزیه مود تجربی دسته‌ای کامل به مجموعه‌ای از توابع مود ذاتی<sup>۵</sup> خود تجزیه خواهد شد. جزئیات این روش در مرجع [۱۸] ارائه شده است.

### ۲-۴-شبکه‌های عصبی مصنوعی

شبکه عصبی یک روش الهام‌گرفته‌شده از ساختار مغز انسان است

### ۳-تجهیزات آزمایشگاهی نشان داده شده است.

شتات‌سنج‌ها در نودهای ۶ و ۷ برای استخراج پاسخ‌های دینامیکی به سازه متصل شده‌اند (شکل ۴). علت انتخاب این نودها برای استخراج پاسخ‌های دینامیکی این است که نقاط میانی تیر به عنوان نقاط شکمی شکل مودهای فرد محسوب می‌شوند بنابراین داده‌های ثبت‌شده از این نقاط اطلاعات مودهای فرد را به طور کامل در اختیار خواهد گذاشت. علاوه بر این، این نقاط برای شکل مودهای زوج به عنوان نقاط غیرگرهی هستند، بنابراین با استفاده از این نقاط اطلاعات مودهای زوج نیز در پاسخ‌های ثبت‌شده وجود خواهد داشت. دو لرزاننده در نودهای ۵ و ۸ با دو استیننگر انعطاف‌پذیر<sup>۱</sup> با سختی محوری بالا<sup>۲</sup> [۱۷] برای تحریک به سازه متصل شده‌اند (شکل ۴). سیگنال‌های نیرو غیر همبسته<sup>۳</sup> برای ایجاد تحریک‌های تصادفی، نویز سفید گوسین در رنج فرکانسی مطلوب صفر تا  $1600$  هرتز هستند که این شامل همه فرکانس‌ها در رنج فرکانسی مطلوب است. نمونه‌ها با فرکانس نمونه‌برداری  $8/192$  کیلوهرتز داده‌برداری شده‌اند و سیگنال‌ها توسط کابل‌های انتقال به سیستم جمع‌آوری داده پالس منتقل می‌شوند تا پس از ورود به کامپیوتر توسط نرم‌افزار پالس<sup>۴</sup> ذخیره شوند. برای استفاده از این داده‌های خام، سیگنال‌ها در قالب نقاط دیجیتال ذخیره شده در ماتریس، وارد نرم‌افزار متلب می‌شوند تا فرآیند پردازش روی آن‌ها صورت بگیرد. در این مقاله آزمایش‌های اولیه بر روی سازه سالم انجام می‌گیرد، پس از آن، آزمایش‌ها برای

۱ Flexible stingers

۲ High axial stiffness

۳ Uncorrelated

۴ Pulse Lab Shop

ورودی با استفاده از فیلتر انجام می‌دهد.

لایه ادغام: این لایه ابعاد نورون‌های خروجی از لایه کانولوشن را کاهش داده و باعث کاهش شدت محاسبات و همچنین جلوگیری از پدیده بیش برآش می‌شود. در این پژوهش از لایه ادغام بیشینه<sup>۷</sup> استفاده شده است که فقط مقادیر بیشینه در هر نگاشت ویژگی را انتخاب کرده و باعث کاهش تعداد نورون‌های خروجی می‌شود.

لایه تمام متصل: این لایه دارای اتصال کامل به تمام فعال‌سازی‌ها در لایه قبلی است.

لایه حذف تصادفی: از این لایه بهمنظور جلوگیری از پدیده بیش برآش استفاده می‌شود [۲۲]. نحوه کار آن به این صورت است که در هر مرحله از آموزش، هر نورون با احتمالی از شبکه بیرون انداخته شده به‌طوری‌که نهایتاً یک شبکه کاهش داده شده باقی می‌ماند.

لایه نرمال‌ساز دسته‌ای: این لایه بهمنظور نرمال‌سازی داده‌ها در داخل شبکه انجام می‌شود [۲۲]. تبدیل لایه نرمال‌سازی دسته‌ای به شرح زیر است:

$$\begin{aligned}\mu_B &= \frac{1}{n} \sum_{i=1}^n y_i^{(l-1)} \\ \sigma_B^2 &= \frac{1}{n} \sum_{i=1}^n (y_i^{(l-1)} - \mu_B)^2 \\ \hat{y}^{(l-1)} &= \frac{y^{*(l-1)} - \mu_B}{\sqrt{(\sigma_B^2 + \epsilon)}} \\ z^{*(l)} &= \gamma^{(l)} \hat{y}^{(l-1)} + \beta^{(l)}\end{aligned}\quad (17)$$

که  $\mu_B$  و  $\sigma_B^2$  به ترتیب میانگین و واریانس دسته هستند. <sup>۸</sup> یک ثابت کوچک برای ثبات عددی، <sup>۹</sup> شماره لایه،  $y^{*(l-1)}$  بردار ورودی به لایه نرمال‌ساز،  $\hat{y}^{(l-1)}$  بردار خروجی نرمال‌شده مربوط به یک نورون،  $\gamma^{(l)}$  و  $\beta^{(l)}$  به ترتیب پارامترهای مربوط به مقیاس و تغییر نرخ یادگیری هستند.

تابع رلوو<sup>۱۰</sup>: پس از هر لایه کانولوشن، یک تابع فعال‌سازی اعمال می‌شود. تابع فعال‌سازی یک عملگر است که خروجی را به مجموعه‌ای از ورودی‌ها نگاشت می‌کند و برای غیرخطی کردن ساختار شبکه استفاده می‌شود [۱۹]. در این رساله از تابع رلوو به عنوان

<sup>7</sup> Max-Pooling

<sup>8</sup> Relu

که با هدف حل مسائل مختلف به تقلید از ذهن انسان به وجود آمده است. در شکل ۶ یک شبکه عصبی مصنوعی نشان داده شده است. همان‌گونه که از این شکل مشخص است، شبکه از تعدادی واحد پردازشی بهنام نورون، در چندین لایه مختلف ساخته شده است. نورون‌های موجود در هر لایه باهم هیچ‌گونه ارتباطی ندارند. بهمنظور حل مسئله توسط مدل شبکه عصبی، نیاز است تا وزن‌های مناسب برای هر لایه تعیین شوند. پس از تعیین ابرپارامترهای مدل مانند نرخ یادگیری، تعداد لایه‌های پنهان، تعداد نورون‌های هر لایه، توابع فعال‌ساز و غیره، وزن‌های بهینه مرتبط با هر لایه به کمک داده‌های آموزش محاسبه می‌شوند و درنهایت شبکه با داده‌های آزمایش ارزیابی می‌شود.

شبکه عصبی کانولوشنال عمیق درواقع یک شبکه عصبی بهبودیافته است [۱۹]. در شبکه‌های عمیق یادگیری ویژگی بهصورت سلسه مراتبی انجام می‌گیرد. یادگیری ویژگی برای استخراج خودکار ویژگی‌ها و الگوهای مشترک استفاده می‌شود تا از این ویژگی‌ها در فرآیند دسته‌بندی استفاده شود. در این شبکه چندین لایه با روشهای قدرتمند در کنار هم برای یادگیری ویژگی‌ها آموزش می‌یابند [۱۹]. همانند شبکه عصبی، تصمیم خروجی نهایی شبکه کانولوشنال عمیق بر اساس وزن و بایاس لایه‌های قبلی در ساختار شبکه است. در هر شبکه عصبی کانولوشنال دو مرحله برای آموزش وجود دارد؛ مرحله انتشار پیش رو و مرحله پس انتشار<sup>۱۱</sup>. الگوریتم پس انتشار، روشهای محاسبه گرادیان تابع اتفاق نسبت به وزن‌هاست. به‌طورکلی، یک شبکه کانولوشنال از سه لایه اصلی تشکیل می‌شود که عبارت‌اند از: لایه کانولوشن<sup>۱۲</sup>، لایه ادغام<sup>۱۳</sup> و لایه تمام متصل<sup>۱۴</sup> [۲۱، ۱۹]. برای جلوگیری از فرآیند بیش برآش و بهبود عملکرد شبکه می‌توان از لایه‌های حذف تصادفی<sup>۱۵</sup> و نرمال‌سازی دسته‌ای<sup>۱۶</sup> نیز استفاده کرد. همچنین در شبکه‌های عصبی نیاز است پس از هر لایه از تابع فعال‌سازی استفاده شود که در ادامه این لایه‌ها و توابع اجمالاً معرفی می‌شوند.

لایه کانولوشن: شامل فیلترهایی (کرنل‌ها) است که روی داده ورودی به شبکه می‌لغزند. این لایه، عمل کانولوشن را روی داده

<sup>1</sup> Backpropagation (BP)

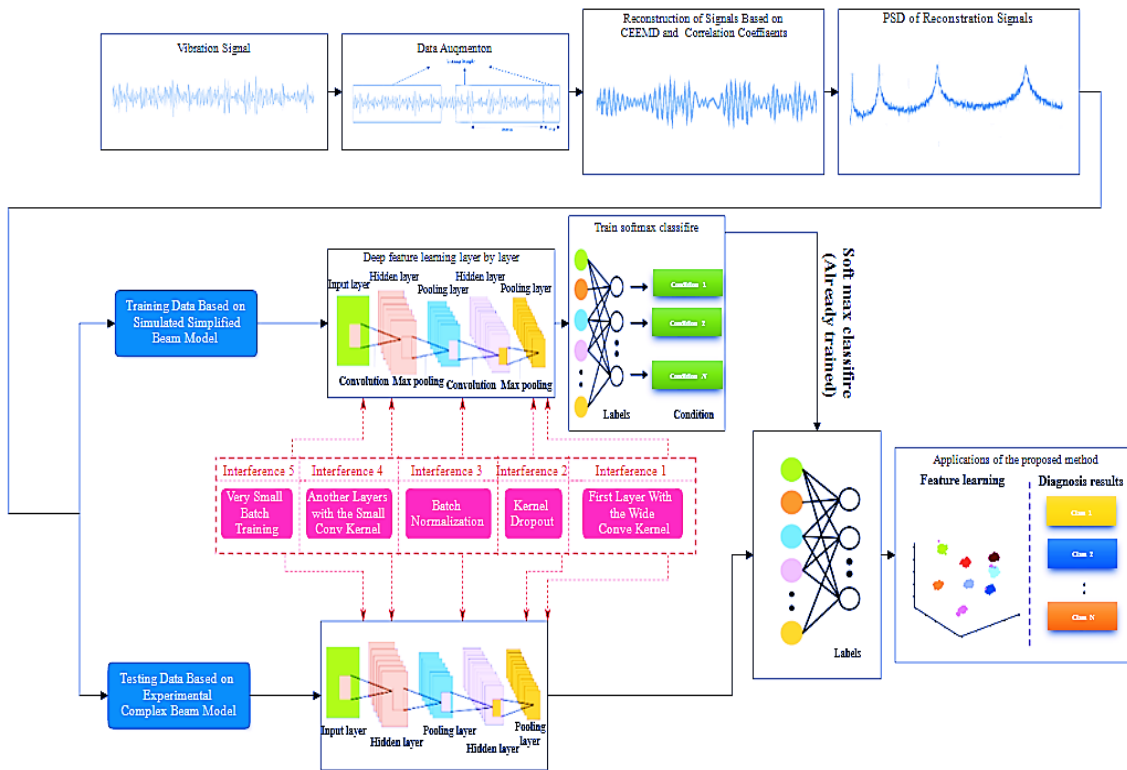
<sup>2</sup> Convolution

<sup>3</sup> Pooling

<sup>4</sup> Fully Connected (FC)

<sup>5</sup> Dropout

<sup>6</sup> Batch normalization (BN)



شکل ۷. بلوك دیاگرام الگوريتم پيشنهادی.

Fig. 7. The block diagram of the proposed algorithm.

$$\sigma(\delta)_i = \frac{e^{\delta_i}}{\sum_{j=1}^k e^{\delta_j}} \quad \text{for } i=1, \dots, k \quad (19)$$

$$\delta = (\delta_1, \dots, \delta_k) \in R^k$$

که در آن  $\delta$  ورودی شبکه است و مقادیر خروجی  $\sigma(\delta)$  بین صفر و یک بوده که مجموع آنها برابر یک است [۱۹].

### ۳- الگوريتم عيب يابي پيشنهادی

هدف اصلی در اين مقاله ارائه الگوريتمی به منظور شناسایی و عيب يابي سистемهای مکانيکی در حضور عدم قطعیت های مختلف با استفاده از سیگنال ارتعاشی بر پایه مدل شبیه سازی شده با بارگذاری ساده، حالت سالم واقعی و شبکه عصبی عمیق است. نحوه عملکرد

فعال سازی در لایه های کانولوشن استفاده شده است و این ویژگی را دارد که غیرخطی بودن را به ساختار شبکه اعمال کند؛ بنابراین در برابر تغییرات جزئی در ورودی مقاوم است. رابطه (۱۸)تابع رلو را نشان می دهد. در این تابع، اگر مقدار  $d$  بزرگتر از صفر باشد، خروجی  $d$  است و اگر مقدار  $d$  کوچکتر یا مساوی صفر باشد، خروجی صفر است.

$$R(d) = \begin{cases} d & \text{if } d > 0 \\ 0 & \text{otherwise} \end{cases} \quad (18)$$

تابع سافت مکس<sup>۱</sup>: این تابع توزیع احتمالی کلاس های خروجی را محاسبه می کند؛ بنابراین در لایه تمام متصل آخر از تابع سافت مکس برای پیش بینی اینکه کدام سیگنال ورودی به حالت های مختلف عيب مربوط است، استفاده می شود و رابطه ای آن به فرم زیر است:

<sup>1</sup> Softmax

## جدول ۱. کلاس‌های مختلف عیب.

Table 1. Different classes of damage.

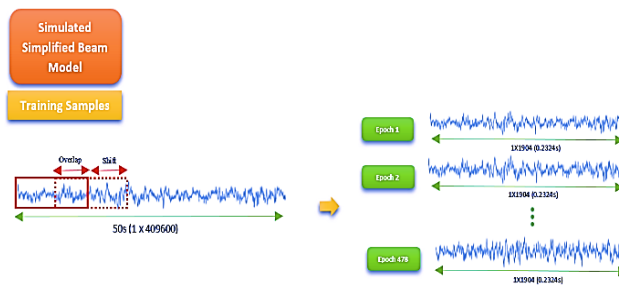
| کلاس | نوع عیب                           |
|------|-----------------------------------|
| ۱    | سالم                              |
| ۲    | المان ۳ جرم اضافه شده ۰/۲ کیلوگرم |
| ۳    | المان ۳ جرم اضافه شده ۰/۷ کیلوگرم |
| ۴    | المان ۸ جرم اضافه شده ۰/۲ کیلوگرم |
| ۵    | المان ۸ جرم اضافه شده ۰/۷ کیلوگرم |

## ۱-۳-داده‌ها

به طور کلی، به منظور بررسی عملکرد روش‌های عیب‌یابی، می‌توان سناریوهای عیوب فرضی در سازه ایجاد کرد. برای شبیه‌سازی سناریوی عیب در مدل المان محدود و مدل واقعی سازه تیری‌شکل، از افزایش جرم مرکز با شدت‌های مختلف در المان‌های مختلف استفاده جرم مرکز با شدت‌های مختلف در المان‌های مختلف استفاده می‌شود. در این مقاله ۵ حالت مختلف برای مدل شبیه‌سازی شده دینامیکی و مدل واقعی آزمایشگاهی در نظر گرفته شده است که شامل: حالت سالم (کلاس ۱)، حالت معیوب مربوط به اضافه شدن جرم در المان (کلاس ۲)، حالت معیوب مربوط به اضافه شدن جرم (کلاس ۳)، حالت معیوب مربوط به اضافه شدن جرم (کلاس ۴) و حالت معیوب مربوط به اضافه شدن جرم (کلاس ۵) است. جدول ۱ کلاس‌های مختلف عیب برای مدل شبیه‌سازی شده و مدل واقعی آزمایشگاهی را نشان می‌دهد. اضافه کردن جرم مرکز به سازه، باعث جابه‌جایی فرکانس‌ها و تغییر شکل مودها می‌شود. در روش پیشنهادی این مقاله، داده‌های مدل المان محدود تحت یک نیروی تحریک تصادفی در نod ۸ (که در این مقاله به آن «مدل ساده شبیه‌سازی شده» می‌گوییم) و حالت سالم واقعی به عنوان داده آموزش شبکه پیشنهادی استفاده می‌شوند. از آنجاکه در محیط‌های صنعتی شرایط بارگذاری به صورت مرتب در حال تغییر هستند، مدل واقعی آزمایشگاهی با دو نیروی تصادفی (به منظور فرضیات واقع‌بینانه‌تر) تحریک می‌شود؛ بنابراین، داده‌های مدل واقعی آزمایشگاهی تحت دو نیروی تحریک تصادفی در نودهای ۵ و ۸ (که در این مقاله به آن «مدل آزمایشگاهی» می‌گوییم) به عنوان

الگوریتم پیشنهادی در زیر به اختصار بیان شده است:

- ۱) ابتدا مدل‌سازی دینامیکی سازه تیری‌شکل (به عنوان یک مطالعه موردی) با استفاده از روش المان محدود انجام خواهد شد و حل عددی آن با استفاده از کدنویسی در محیط متلب مهیا می‌شود. پس از آن پاسخ‌های دینامیکی از سناریوهای عیوب فرضی، از مدل المان محدود تحت یک نیروی تحریک تصادفی و همچنین مدل واقعی آزمایشگاهی تحت دو نیروی تحریک تصادفی استخراج می‌گرددند.
- ۲) نرمال کردن داده‌ها.
- ۳) افزایش داده‌ها با استفاده از روش هم‌پوشانی.
- ۴) حذف برخی از بخش‌های سیگنال‌ها که مربوط به ذات سیستم نیستند با استفاده از روش تجزیه مود تجربی دسته‌ای کامل و ضرایب همبستگی.
- ۵) استفاده از پاسخ‌های دینامیکی بازسازی شده به منظور استخراج داده‌های فرکانسی با استفاده از روش چگالی طیفی توان.
- ۶) تقسیم مجموعه داده‌ها به سه مجموعه شامل مجموعه آموزشی بر پایه مدل ساده شبیه‌سازی شده و حالت سالم واقعی، مجموعه اعتبارسنجی و مجموعه آزمایشی بر پایه مدل واقعی آزمایشگاهی.
- ۷) انتخاب معماری و ساختار مناسب برای شبکه عصبی عمیق با استفاده از نرم‌افزار پایتون، به منظور شناسایی و عیب‌یابی.
- ۸) بررسی عملکرد شبکه عمیق طراحی شده برای شناسایی و عیب‌یابی سازه با استفاده از مجموعه داده‌های آزمایشی. شکل ۷ بلوك دیاگرام الگوریتم پیشنهادی را نشان می‌دهد.



شکل ۸. داده‌افزایی با استفاده از تکنیک همپوشانی برای مدل المان محدود.

Fig. 8. Data augmentation using the overlap technique for FE model.

به گونه‌ای انجام می‌شود که فرکانس‌های طبیعی مدل سالم المان محدود با فرکانس‌های طبیعی مدل سالم آزمایشگاهی مطابقت داشته باشند [۲۳-۲۶]. سپس از مدل المان محدود به روز شده برای تشخیص عیوب مدل آزمایشگاهی سازه تیری‌شکل استفاده می‌شود. در روش پیشنهادی هر سیگنال ارتعاشی توسط نرمالیزاسیون بین صفر و یک نرمالیزه شده [۱۲]، پس از آن از تکنیک همپوشانی برای داده‌افزایی استفاده می‌شود. افزایش تعداد داده‌ها باعث افزایش دقت و جلوگیری از پدیده بیش برآش می‌شود. روند این همپوشانی برای داده‌های آموزش در شکل ۸ نشان داده شده است. تعداد نمونه‌های هر کلاس مدل ساده شبیه‌سازی شده و مدل آزمایشگاهی به ترتیب ۴۷۸ و ۱۱۸ است.

**۲-۳- انتخاب توابع مود ذاتی مناسب و بازسازی سیگنال‌ها**  
همان‌طور که قبلاً بیان شد با استفاده از روش تجزیه مود تجربی دسته‌ای کامل می‌توان بخش‌هایی از سیگنال که مربوط به ذات اصلی سیستم نیستند را از سیگنال اصلی حذف نمود. پاسخ‌های دینامیکی مدل ساده شبیه‌سازی شده و مدل واقعی آزمایشگاهی با استفاده از روش تجزیه مود تجربی دسته‌ای کامل به توابع مود ذاتی خود تجزیه می‌شوند. با استفاده از ضریب همبستگی توابع مود ذاتی مدل ساده شبیه‌سازی شده و حالت سالم مدل آزمایشگاهی با سیگنال‌های مربوط به خود، توابع مود ذاتی که بیشترین ضریب همبستگی را دارند انتخاب می‌شوند. ضریب همبستگی روشی پارامتریک است که برای

داده آزمون استفاده می‌شوند. به منظور شبیه‌سازی عیوب مختلف در مدل المان محدود، از افزایش جرم مرکز  $M_1$  و  $M_2$  در المان‌ها، به صورت زیر استفاده می‌شود:

$$\begin{aligned} M_{e(d)} &= M_{e(u)} + M_1 \cdot (H^T(x) \cdot H(x)) \\ &\Big|_{x=0} + M_2 \cdot (H^T(x) \cdot H(x)) \Big|_{x=1} \\ M_1 = M_2 &= \frac{M_{add}}{2} \end{aligned} \quad (۲۰)$$

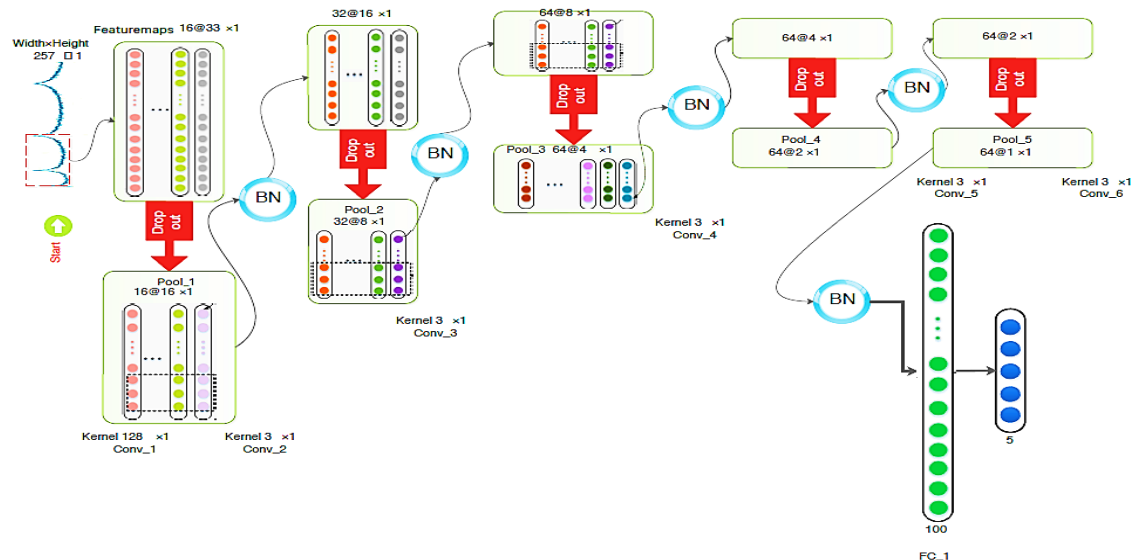
که در آن  $M_e$  ماتریس جرم هر المان و زیرنویس‌های  $u$  و  $d$  به ترتیب حالت سالم و معیوب،  $M_{add}$  جرم مرکز اضافه شده و  $x$  فاصله جرم اضافه شده در هر المان را نشان می‌دهد. در این مقاله، پاسخ‌های دینامیکی شتاب‌سنج نصب شده در نود ۷ برای استخراج ویژگی‌ها و عیوب‌یابی سازه تیری‌شکل استفاده شده است.

همان‌طور که قبلاً بیان شد بین پاسخ‌های دینامیکی مدل شبیه‌سازی شده و مدل آزمایشگاهی به دلیل عدم قطعیت‌های مختلف مانند خطاهای مدل‌سازی، کمی اختلاف وجود دارد؛ بنابراین، به روزرسانی مدل المان محدود اولیه بر اساس مدل واقعی و تنظیم برخی از پارامترهای آن برای به حداقل رساندن خطای مدل‌سازی ضروری است. در مطالعه حاضر، مدل المان محدود سازه تیری‌شکل بر اساس فرکانس‌های طبیعی حالت سالم مدل آزمایشگاهی به روز شده است. به روزرسانی با تغییر مدول الاستیسیته مدل المان محدود

## جدول ۲. جزئیات معماری شبکه کانولوشنال پیشنهادی.

Table 2. Architecture details of the proposed convolutional network.

| شکل خروجی | تعداد فیلتر | اندازه و گام فیلتر | نوع لایه   | شماره |
|-----------|-------------|--------------------|------------|-------|
| ۳۳×۱۶     | ۱۶          | ۱۲۸×۱/۸×۱          | کانولوشن ۱ | ۱     |
| ۱۶×۱۶     | -           | ۱×۱/۲×۱            | ادغام      | ۲     |
| ۱۶×۳۲     | ۳۲          | ۳×۱/۱×۱            | کانولوشن ۲ | ۳     |
| ۸×۳۲      | -           | ۲×۱/۲×۱            | ادغام      | ۴     |
| ۸×۶۴      | ۶۴          | ۳×۱/۱×۱            | کانولوشن ۳ | ۵     |
| ۴×۶۴      | -           | ۲×۱/۲×۱            | ادغام      | ۶     |
| ۴×۶۴      | ۶۴          | ۳×۱/۱×۱            | کانولوشن ۴ | ۷     |
| ۲×۶۴      | -           | ۲×۱/۲×۱            | ادغام      | ۸     |
| ۲×۶۴      | ۶۴          | ۳×۱/۱×۱            | کانولوشن ۵ | ۹     |
| ۱×۶۴      | -           | ۲×۱/۲×۱            | ادغام      | ۱۰    |
| ۱۰۰       | -           | ۱۰۰                | تمام متصل  | ۱۱    |
| ۵         | -           | ۵                  | سافت‌مکس   | ۱۲    |



شکل ۹. معماری شبکه کانولوشنال پیشنهادی.

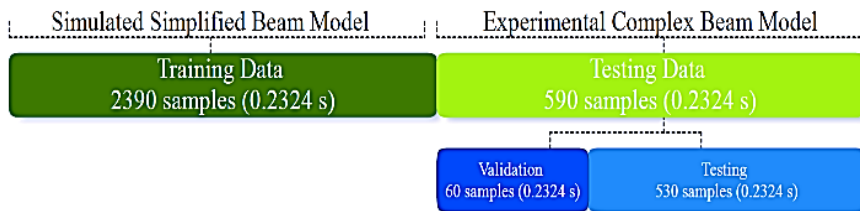
Fig. 9. The proposed convolutional network architecture.

که در رابطه بالا  $X_1$  و  $X_2$  بردارهای ویژگی سیگنال‌هایی است که ضریب همبستگی برای آن‌ها محاسبه می‌شود و دارای  $N$  عضو می‌باشند و  $\mu_{X_2}$  و  $\mu_{X_1}$  میانگین‌های مربوط به این دو بردار هستند. در این مقاله پس از انتخاب توابع مود ذاتی مناسب، سیگنال‌های اصلی بازسازی می‌شوند. پس از آن، داده‌های فرکانسی در رنج فرکانسی صفر تا ۱۶۰۰ هرتز با استفاده از روش چگالی طیفی توان از داده‌های زمانی بازسازی شده به دست می‌آیند. داده‌های فرکانسی استخراج شده از

داده‌هایی با توزیع نرمال استفاده می‌شود. ضریب همبستگی از رابطه زیر به دست می‌آید [۲۷]:

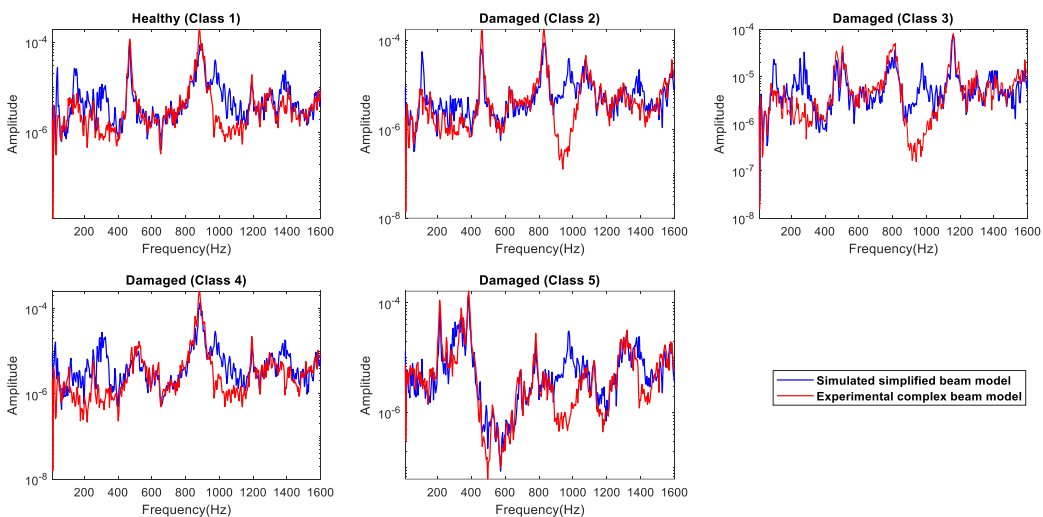
$$\tilde{n} = \frac{\sum_{i=1}^N (X_{1i} - \mu_{X_1})(X_{2i} - \mu_{X_2})}{\left( \sum_{i=1}^N (X_{1i} - \mu_{X_1}) \right)^{1/2} \left( \sum_{i=1}^N (X_{2i} - \mu_{X_2}) \right)^{1/2}} \quad (21)$$

$$\mu_{X_1} = \frac{1}{N} \sum_{i=1}^N X_{1i} \quad \mu_{X_2} = \frac{1}{N} \sum_{i=1}^N X_{2i}$$



**Fig. 10. The samples allocation to be used in the proposed algorithm for 2 steps of training and testing**

شکل ۱۰: تخصیص نمونه‌های مورد استفاده در الگوریتم پیشنهادی برای دو مرحله آموزش و آزمون.



شکل ۱۱. مقایسه طیف فرکانسی سیگنال ارتعاشی نرمال شده مدل‌های المان محدود و آزمایشگاهی

**Fig. 11. Comparison of the frequency spectrum of the normalized vibrational signal of FE and experimental models.**

۴ بار دیگر تکرار می‌شود؛ (۳) خروجی معماری قبلی به یک ماتریس دو بعدی متصل می‌شود؛ (۴) دولایه تمام متصل برای دسترسی به لایه خروجی استفاده می‌شود. در این معماری در لایه اول از فیلتر کانولوشن با اندازه بزرگ<sup>۱</sup> ( $128 \times 1$ ) و در لایه‌های بعدی از فیلترهایی با اندازه کوچک‌تر<sup>۲</sup> ( $3 \times 1$ ) استفاده شده است. استفاده از فیلتر با اندازه بزرگ در لایه اول در مقایسه با فیلتر با اندازه کوچک، بهتر می‌تواند نویزهای فرکانس بالا را از بین ببرد. استفاده از فیلترها با اندازه کوچک در لایه‌های بعدی کانولوشن باعث بازنمایی بهتری از سیگنال ورودی می‌شود و درنتیجه عملکرد شبکه را بهبود می‌بخشد. برای لایه اول کانولوشن از گام ۸ و برای بقیه لایه‌های کانولوشن و لایه‌های ادغام بیشینه گام ۲ در نظر گرفته شده است. جدول ۲ جزئیات معماری شبکه

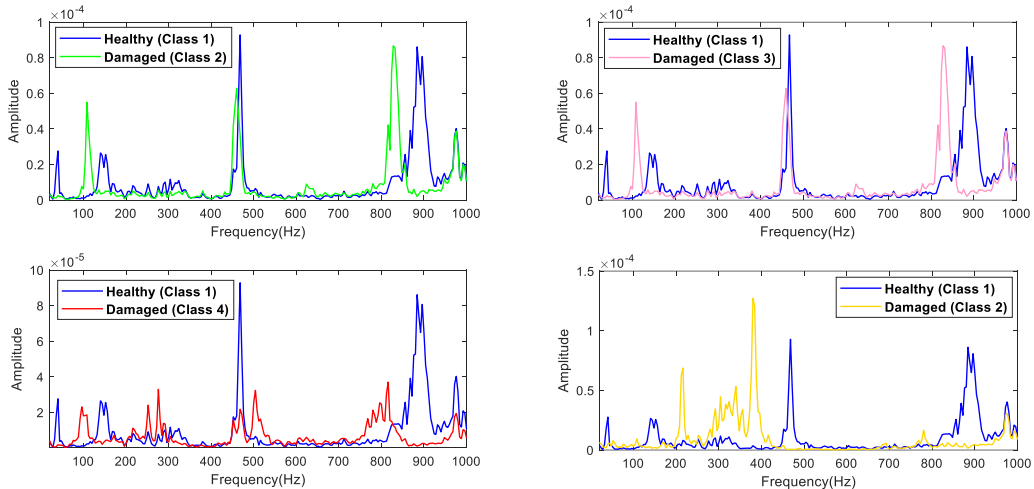
مدل ساده شبیه‌سازی شده و حالت سالم مدل آزمایشگاهی (تعداد کل آن‌ها برای ۵ کلاس مختلف ۲۳۹۰ است) به عنوان داده آموزش شبکه پیشنهادی و داده‌های فرکانسی استخراج شده از مدل آزمایشگاهی (تعداد کل آن‌ها برای ۵ کلاس مختلف ۵۹۰ است) به عنوان داده آزمون استفاده می‌شوند.

### ۳-۳-معماری شبکه کانولوشنال پیشنهادی

برای پیاده‌سازی شبکه کانولوشنال از کتابخانه کراس در زبان برنامه‌نویسی پایتون استفاده شده است. معماری شبکه عصبی عمیق نیز به صورت زیر انتخاب شده است: (۱) یک لایه کانولوشن با تابع غیرخطی رلو همراه با لایه حذف تصادفی و لایه نرمال‌سازی دسته‌ای، سپس یک لایه ادغام بیشینه اضافه می‌شود؛ (۲) معماری مرحله قبل

<sup>1</sup> Wide convolution kernel

<sup>2</sup> Small convolution kernel



شکل ۱۲. طیف فرکانسی مدل المان محدود برای حالت‌های مختلف عیوب.

Fig. 12. Frequency spectrum of the FE model for various states.

جدول ۳. مقایسه فرکانس‌های طبیعی به دست آمده برای سازه سالم با استفاده از روش‌های مختلف.

Table 3. Comparison of the obtained natural frequencies for the healthy structure using different methods.

| مدل المان<br>محدود و<br>آزمایشگاهی    | خطا (%)                   |                           | فرکانس طبیعی (هرتز)    |                        |            | شماره<br>مود |
|---------------------------------------|---------------------------|---------------------------|------------------------|------------------------|------------|--------------|
|                                       | مدل المان<br>محدود        | مدل آزمایشگاهی            | مدل المان<br>محدود     | آزمایشگاهی             | روش تحلیلی |              |
| چگالی طیفی<br>توان-چگالی<br>طیفی توان | تحلیلی-چگالی<br>طیفی توان | تحلیلی-چگالی<br>طیفی توان | روش چگالی<br>طیفی توان | روش چگالی<br>طیفی توان | ۳۵/۸۱      | ۱            |
| ۰/۰                                   | ۶/۱۱                      | ۶/۱۱                      | ۳۸                     | ۳۸                     | ۱۴۲/۲۶     | ۲            |
| ۲/۹                                   | ۲/۲۷                      | ۵/۰۶                      | ۱۴۰                    | ۱۳۶                    | ۳۲۲/۳۴     | ۳            |
| ۵/۸                                   | ۰/۵۱                      | ۶/۷۱                      | ۳۲۴                    | ۳۴۴                    | ۴۷۳/۰۶     | ۴            |
| ۰/۰                                   | ۰/۲۰                      | ۰/۲۰                      | ۴۷۲                    | ۴۷۲                    | ۸۸۰        | ۵            |
| ۰/۰                                   | ۱/۷۰                      | ۱/۷۰                      | ۸۸۰                    | ۸۸۰                    | ۸۹۵/۴۱     |              |

و آزمون ۲۳۹۰ و ۵۹۰ است که ۶۰ نمونه از داده‌های آزمایش برای اعتبارسنجی استفاده می‌شود. برای تعیین ابر پارامترهای شبکه پیشنهادی از روش سعی و خطأ استفاده شده است و درنهایتتابع خطأ آنتروپی متقابل<sup>۱</sup>، بهینه‌کننده آدام<sup>۲</sup> [۲۲] با نرخ یادگیری ۰/۰۰۰۱ و روش پس‌انتشار خطأ با اندازه دسته ۱۰ برای آموزش

کانولوشنال پیشنهادی مورد استفاده را نشان می‌دهد. طبق جدول ۲ کاهش بعد در لایه‌های پنهان از ۲۵۷ (طول داده‌های فرکانسی) به ۶۴ (تعداد ویژگی‌های بهینه انتخابی) ادامه یافته است و درنهایت بردار ویژگی انتخاب شده به دو لایه تمام متصل باتابع غیرخطی سیگموئید و سافت‌مکس جهت شناسایی عیوب مختلف متصل می‌شود. معماری شبکه کانولوشنال پیشنهادی در شکل ۹ نشان داده شده است.

همان‌طور که در بخش ۳-۳ بیان شد، تعداد کل داده‌های آموزش

۱ Cross-entropy loss function

۲ Adam optimizer

جدول ۴. میانگین ضرایب همبستگی توابع مود ذاتی با سیگنال‌های ارتعاشی مربوط به آن‌ها برای مدل المان محدود و حالت سالم آزمایشگاهی.

**Table 4. The correlation coefficients mean of intrinsic mode functions with vibrational signals corresponding to them for the FE model and the experimental healthy state.**

| تابع مود ذاتی ۶ | تابع مود ذاتی ۵ | تابع مود ذاتی ۴ | تابع مود ذاتی ۳ | تابع مود ذاتی ۲ | تابع مود ذاتی ۱ |                              |
|-----------------|-----------------|-----------------|-----------------|-----------------|-----------------|------------------------------|
| ۰/۲۰            | ۰/۱۵            | ۰/۲۹            | ۰/۳۸            | ۰/۴۰            | ۰/۸۹            | حالات سالم (مدل المان محدود) |
| ۰/۱۸            | ۰/۲۱            | ۰/۲۸            | ۰/۲۷            | ۰/۲۱            | ۰/۷۰            | کلاس ۲ (مدل المان محدود)     |
| ۰/۲۹            | ۰/۲۷            | ۰/۲۴            | ۰/۳۱            | ۰/۴۲            | ۰/۸۱            | کلاس ۳ (مدل المان محدود)     |
| ۰/۱۴            | ۰/۴۶            | ۰/۴۵            | ۰/۳۲            | ۰/۲۴            | ۰/۷۵            | کلاس ۴ (مدل المان محدود)     |
| ۰/۲۱            | ۰/۲۸            | ۰/۳۰            | ۰/۳۵            | ۰/۴۶            | ۰/۷۲            | کلاس ۵ (مدل المان محدود)     |
| ۰/۱۵            | ۰/۱۶            | ۰/۴۴            | ۰/۳۷            | ۰/۵۲            | ۰/۷۴            | حالات سالم (مدل آزمایشگاهی)  |

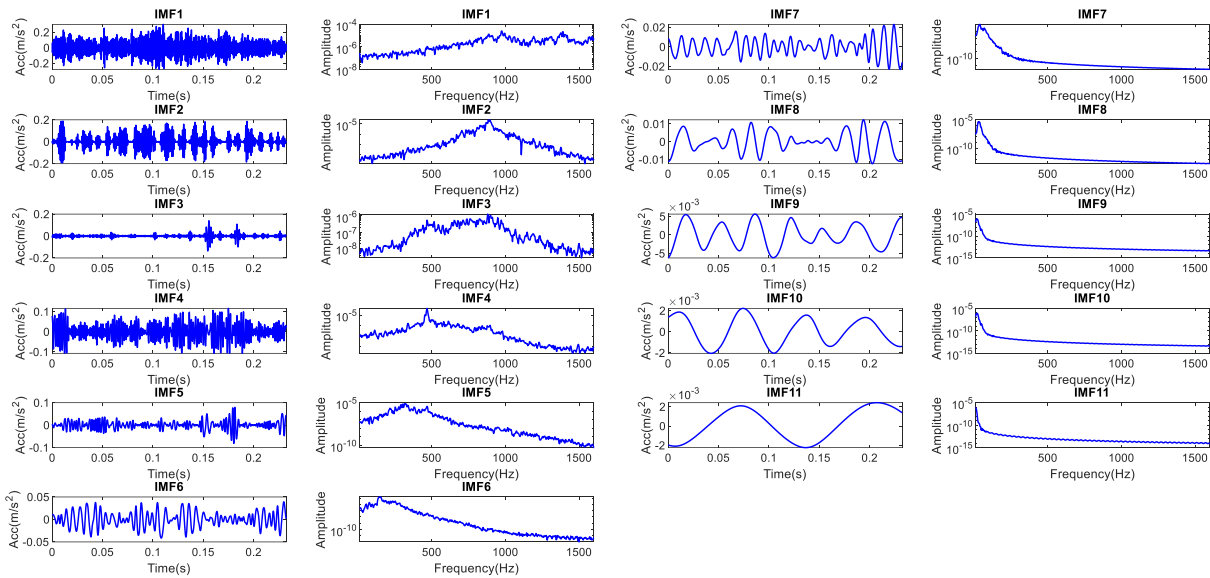
| تابع مود ذاتی ۱۱ | تابع مود ذاتی ۱۰ | تابع مود ذاتی ۹ | تابع مود ذاتی ۸ | تابع مود ذاتی ۷ |                              |
|------------------|------------------|-----------------|-----------------|-----------------|------------------------------|
| ۰/۰۰             | ۰/۰۰             | ۰/۰۳            | ۰/۰۷            | ۰/۱۰            | حالات سالم (مدل المان محدود) |
| ۰/۰۰             | ۰/۰۱             | ۰/۰۲            | ۰/۰۷            | ۰/۱۱            | کلاس ۲ (مدل المان محدود)     |
| ۰/۰۰             | ۰/۰۰             | ۰/۰۱            | ۰/۰۳            | ۰/۰۵            | کلاس ۳ (مدل المان محدود)     |
| ۰/۰۲             | ۰/۰۳             | ۰/۰۹            | ۰/۰۸            | ۰/۱۳            | کلاس ۴ (مدل المان محدود)     |
| ۰/۰۰             | ۰/۰۱             | ۰/۰۱            | ۰/۰۲            | ۰/۰۳            | کلاس ۵ (مدل المان محدود)     |
| ۰/۰۰             | ۰/۰۰             | ۰/۰۱            | ۰/۰۳            | ۰/۰۹            | حالات سالم (مدل آزمایشگاهی)  |

#### ۴- ارزیابی مدل المان محدود شبیه‌سازی شده بر پایه داده‌های آزمایشگاهی

به منظور ارزیابی صحت مدل المان محدود، فرکانس‌های طبیعی سازه تیری‌شکل با استفاده از روش‌های مختلف به دست آمده و با یکدیگر مقایسه می‌شوند. در این بخش، ابتدا فرکانس‌های طبیعی سازه با استفاده از روش چگالی طیفی توان بر پایه پاسخ‌های دینامیکی مدل آزمایشگاهی و مدل المان محدود استخراج می‌شوند. پس از آن فرکانس‌های طبیعی سازه با استفاده از حل تحلیلی نیز به دست می‌آیند و در نهایت این فرکانس‌ها با یکدیگر مقایسه خواهند شد. برای به دست آوردن پاسخ‌های دینامیکی مدل المان محدود با استفاده از معادله (۱۶) ابتدا باید ماتریس  $C_b$  محاسبه گردد که با محاسبه  $\bar{\alpha}$  و  $\bar{\beta}$ ، می‌توان ماتریس  $C_b$  را به دست آورد. برای به دست آوردن

شبکه پیشنهادی مورد استفاده قرار گرفته است. بعد از آموزش شبکه پیشنهادی، ارزیابی با استفاده از ۵۳۰ نمونه از داده‌های آزمون صورت می‌گیرد. شکل ۱۰ تخصیص نمونه‌های استفاده شده در الگوریتم پیشنهادی را نشان می‌دهد.

**۴- کاربرد روش پیشنهادی برای عیب‌یابی سازه تیری‌شکل واقعی**  
در این قسمت، نتایج روش پیشنهادی برای عیب‌یابی سازه تیری‌شکل تحت بارگذاری پیچیده ارائه شده است. این بخش به چندین زیر بخش تقسیم شده است: (۱) ارزیابی مدل المان محدود شبیه‌سازی شده بر پایه داده‌های آزمایشگاهی. (۲) انتخاب توابع مود ذاتی و بازسازی سیگنال‌های ارتعاشی. (۳) عیب‌یابی سازه تیری‌شکل تحت بارگذاری پیچیده.



شکل ۱۳. توابع مود ذاتی برای یک نمونه از حالت سالم مدل ساده مدل المان محدود در حوزه زمان و فرکانس.

Fig. 13. Intrinsic mode functions for a sample of the healthy FE model in the time and frequency domain.

$$\omega_n = (\beta_n L_t)^2 \sqrt{\frac{EI}{\rho A L_t^4}} \quad (22)$$

$$\beta_n = n\pi, \quad n=1,2,3,\dots$$

که در آن  $L_t$  و  $n$  به ترتیب طول سازه و شماره مود را نشان می‌دهند.

بر اساس جدول ۳، با مقایسه فرکانس‌های طبیعی به دست آمده برای هر دو مدل بر پایه روش چگالی طیفی توان با فرکانس‌های طبیعی به دست آمده از حل تحلیلی ملاحظه می‌گردد که بیشترین خطا تقریباً ۶٪ است که با توجه به وجود عدم قطعیت‌های مختلف این مقدار خطا قابل قبول است. همچنین با مقایسه فرکانس‌های طبیعی به دست آمده از هر دو مدل با استفاده از روش چگالی طیفی توان ملاحظه می‌گردد که بیشترین خطا تقریباً ۵٪ است که با توجه به وجود عدم قطعیت‌های مختلف این مقدار خطا قابل قبول است. می‌توان بیان کرد که شبیه‌سازی مدل المان محدود، دقت قابل قبولی دارد.

$\bar{\alpha}$  و  $\bar{\beta}$ ، نسبت‌های دمپینگ ۰/۰۰۵ در نظر گرفته شده است که با جایگذاری این مقادیر در رابطه ۹ و ۱۰ می‌توان  $\bar{\alpha}$  و  $\bar{\beta}$  را به دست آورد. شکل ۱۱ طیف‌های فرکانسی یک نمونه سیگنال ارتعاشی سازه تیری شکل مدل ساده شبیه‌سازی شده و مدل آزمایشگاهی را برای حالت‌های مختلف در مقیاس لگاریتمی نشان می‌دهد.

همان‌طور که از شکل ۱۱ ملاحظه می‌گردد، طیف‌های فرکانسی هر دو مدل رفتار تقریباً مشابهی دارند، اما عدم قطعیت‌های مختلف مانند خطاهای مدل سازی، خطاهای اندازه‌گیری، تغییرات بارگذاری و نویزهای محیطی باعث ایجاد اختلاف در برخی از دامنه‌ها می‌گردد. طیف فرکانسی یک نمونه سیگنال ارتعاشی سازه تیری شکل مدل ساده شبیه‌سازی شده برای حالت‌های مختلف عیب در مقیاس خطی در شکل ۱۲ رسم شده و با حالت سالم مقایسه شده است. همان‌طور که ملاحظه می‌گردد، وجود عیب در سازه باعث تغییر دامنه و شیفت فرکانسی نسبت به حالت سالم می‌گردد.

به منظور بررسی بیشتر نتایج، ۵ فرکانس طبیعی اول برای سازه سالم با استفاده از روش‌های مختلف در جدول ۳ آورده شده است. در این جدول برای به دست آوردن فرکانس‌های طبیعی تحلیلی از فرمول زیر استفاده شده است [۲۸]:

## جدول ۵. ماتریس درهم ریختگی الگوریتم پیشنهادی.

Table 5. Confusion Matrix of the proposed algorithm.

| نوع عیب | کلاس ۱ | کلاس ۲ | کلاس ۳ | کلاس ۴ | کلاس ۵ | صحت % |
|---------|--------|--------|--------|--------|--------|-------|
| کلاس ۱  | ۱۰۶    | ۰      | ۰      | ۰      | ۰      | ۱۰۰   |
| کلاس ۲  | ۰      | ۱۰۶    | ۰      | ۰      | ۰      | ۱۰۰   |
| کلاس ۳  | ۰      | ۰      | ۱۰۵    | ۱      | ۰      | ۹۹/۰۶ |
| کلاس ۴  | ۰      | ۰      | ۰      | ۱۰۶    | ۰      | ۱۰۰   |
| کلاس ۵  | ۰      | ۰      | ۰      | ۵      | ۱۰۱    | ۹۵/۲۸ |

## جدول ۶. صحت الگوریتم پیشنهادی در مقایسه با روش‌های مقایسه‌ای.

Table 6. The accuracy of the proposed algorithm compared to the comparative methods.

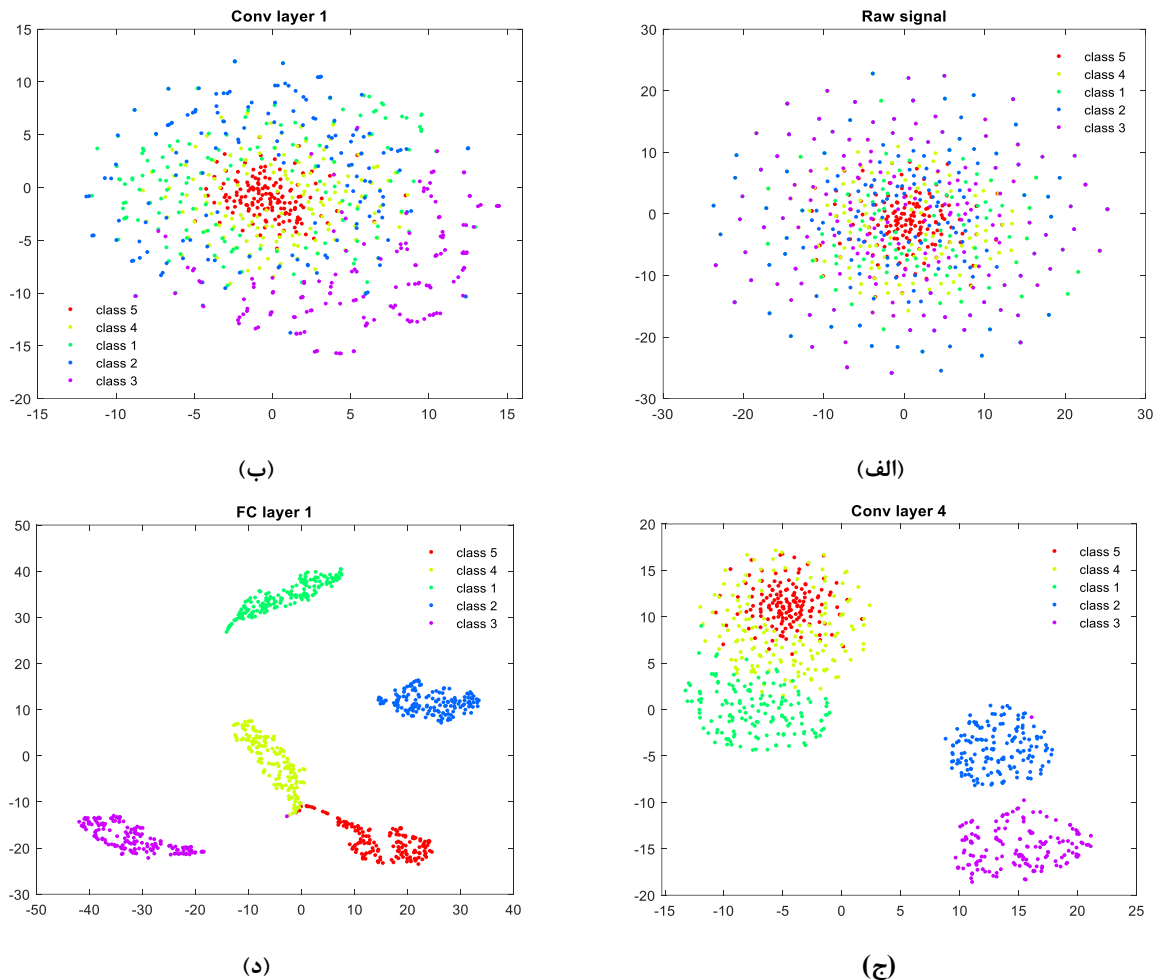
| روش‌ها             | یادگیری ویژگی از داده خام                     | صحت %       |
|--------------------|---|-------------|
| شبکه پرسپترون      | داده‌های فرکانسی سیگنال‌های زمانی             | ۷۵/۲ ± ۸۵/۲ |
| شبکه پرسپترون      | داده‌های فرکانسی سیگنال‌های بازسازی شده       | ۸۱/۲ ± ۷۰/۵ |
| شبکه عمیق پیشنهادی | داده‌های فرکانسی سیگنال‌های زمانی             | ۹۴/۴ ± ۵۳/۱ |
| روش پیشنهادی       | داده‌های فرکانسی سیگنال‌های زمانی بازسازی شده | ۹۸/۵ ± ۸۷/۳ |

مشخص است، با افزایش شماره توابع مود ذاتی، محتویات فرکانسی که مربوط به ذات سیستم هستند نیز از بین می‌روند؛ بنابراین با توجه به جدول ۴ و شکل ۱۳، می‌توان توابع مود ذاتی ۱ تا ۶ در مدل ساده شبیه‌سازی شده و مدل آزمایشگاهی را به عنوان توابع مود ذاتی مناسب انتخاب کرد. بعد از انتخاب توابع مود ذاتی مناسب، سیگنال‌های اصلی همه نمونه‌ها با استفاده از این توابع مود ذاتی بازسازی می‌شوند. این کار باعث می‌شود که اطلاعات اضافی و غیر مربوط به ذات سیستم حذف شوند.

## ۴-۳- عیب‌یابی سازه تیری‌شکل تحت بارگذاری پیچیده

در این بخش، طیف فرکانسی سیگنال‌های بازسازی شده مدل ساده شبیه‌سازی شده و حالت سالم آزمایشگاهی در رنج فرکانسی صفر تا ۱۶۰۰ هرتز به عنوان ورودی به شبکه عمیق کالولوشنال پیشنهادی برای استخراج ویژگی‌های حساس به عیب ارائه خواهد شد. پس از آن طیف فرکانسی حالت‌های مختلف مدل آزمایشگاهی به عنوان ارزیابی شبکه پیشنهادی به کار برده می‌شوند. برای ارزیابی عملکرد الگوریتم

۴-۲- انتخاب توابع مود ذاتی و بازسازی سیگنال‌های ارتعاشی پس از اطمینان از صحت مدل‌سازی، بر اساس بخش ۳-۳، میانگین ضرایب همبستگی همه نمونه‌ها با سیگنال‌های ارتعاشی مربوط به خود (ضریب همبستگی بین سیگنال اصلی و هر تابع مود ذاتی) برای توابع مود ذاتی ۱ تا ۱۱ در هر کلاس مدل ساده شبیه‌سازی شده و حالت سالم مدل آزمایشگاهی در جدول ۴ آمده است. همان‌طور که از جدول ۴ ملاحظه می‌شود هرچه شماره توابع مود ذاتی افزایش می‌یابد، مقدار ضریب همبستگی کاهش می‌یابد. ضرایب همبستگی توابع مود ذاتی ۷ تا ۱۱ نزدیک به صفر هستند، در صورتیکه ضرایب همبستگی توابع مود ذاتی ۱ تا ۶ که در جدول ۴ برجسته شده‌اند، بزرگتر از توابع مود ذاتی دیگر هستند. این نشان‌دهنده آن است که توابع مود ذاتی ۱ تا ۶ شامل اطلاعات بیشتری از سیگنال اصلی هستند. شکل ۱۳، توابع مود ذاتی ۱ تا ۱۱ را برای یک نمونه از حالت سالم مدل ساده شبیه‌سازی شده در حوزه زمان و فرکانس نشان می‌دهد. همان‌گونه که از طیف‌های فرکانسی توابع مود ذاتی شکل ۱۳



شکل ۱۴. نمودار پراکندگی برای داده‌های آزمون. (الف) سیگنال خام. (ب) لايه اول کانولوشنال. (ج) لايه چهارم کانولوشنال. (د) لايه اول تمام متصل.

Fig. 14. T-Sen diagrams for testing data: (a) the raw time signal, (b) the Conv layer 1, (c) the Conv layer 4, (d) FC layer 1.

۵ نمایش داده شده است. همان‌طور که از جدول ۵ ملاحظه می‌شود، الگوریتم پیشنهادی می‌تواند همه کلاس‌ها را با صحت بالای ۹۰٪ از یکدیگر تمایز نماید.

برای مقایسه نتایج روش پیشنهادی، از شبکه پرسپترون<sup>۲</sup> [۳۱] با لايه مخفی f استفاده شده است. برای تعیین ابر پارامترهای شبکه پرسپترون از روش سعی و خطأ استفاده شده است و درنهایت تابع هدف میانگین مربعات خطأ<sup>۳</sup> و الگوریتم لونبرگ-مارکوارت<sup>۴</sup> برای آموزش شبکه مورد استفاده قرار گرفته است. تعداد نورون‌ها در

پیشنهادی از معیار ارزیابی صحت طبق رابطه زیر استفاده می‌گردد [۲۹]:

$$\text{صحت} = \frac{TP+TN}{TP+TN+FP+FN} \quad (۲۳)$$

که در آن TP موارد مثبتی است که به درستی مثبت تشخیص داده شده است. FP، موارد منفی است که به اشتباه مثبت تشخیص داده شده است. TN، موارد منفی است که به درستی منفی تشخیص داده شده است. FN، موارد مثبتی است که به اشتباه منفی تشخیص داده شده است. ماتریس درهم‌ریختگی<sup>۱</sup> با الگوریتم پیشنهادی در جدول ۱ Confusion matrix

2 Multi-Layer Perceptron (MLP)

3 Mean Squared Error (MSE)

4 Levenberg-Marquardt

آموزش شبکه عمیق پیشنهادی تنها از داده‌های فرکانسی مدل ساده شبیه‌سازی شده و حالت سالم مدل آزمایشگاهی استفاده شد. پس از آن از داده‌های فرکانسی مدل آزمایشگاهی برای ارزیابی روش پیشنهادی استفاده شد. در این پژوهش نشان داده شد که انتخاب فیلتر با اندازه بزرگ در لایه اول باعث می‌شود که شبکه کانولوشنال طراحی شده نسبت به نویز حساسیت کمتری داشته و قدرت تشخیص عیوب مختلف در شرایط محیطی واقعی را داشته باشد. همچنین نشان داده شد که استفاده از فیلترها با اندازه کوچک در لایه‌های بعدی کانولوشن باعث بازنمایی بهتری از سیگنال ورودی شده و در نتیجه عملکرد شبکه را بهبود می‌بخشد.

نتایج نشان داد که با استفاده از داده‌های مدل ساده شبیه‌سازی شده و حالت سالم واقعی، شبکه پیشنهادی قادر به شناسایی و عیوب‌یابی سازه تیری شکل تحت بارگذاری پیچیده است. همچنین روش پیشنهادی صحت بالاتری نسبت به سایر روش‌های مقایسه‌ای با ورودی‌های یکسان دارد و این نشان می‌دهد که روش پیشنهادی حساسیت کمتری به تغییرات بارگذاری دارد.

اگرچه سازه تیری شکل یک سیستم ساده مکانیکی است ولی می‌توان بیان کرد که روش پیشنهادی پتانسیل آن را دارد که برای شناسایی و عیوب‌یابی بیشتر سیستم‌های پیچیده مکانیکی تحت بارگذاری‌های پیچیده نیز استفاده شود. همچنین می‌توان برای کارهای آینده از روش‌های ترکیبی پردازشی برای بهبود عملکرد روش پیشنهادی استفاده کرد.

## منابع و مراجع

- [1] H. Adeli, X. Jiang, Intelligent infrastructure: neural networks, wavelets, and chaos theory for intelligent transportation systems and smart structures, CRC press, 2008.
- [2] R. Zhao, R. Yan, Z. Chen, K. Mao, P. Wang, R.X. Gao, Deep learning and its applications to machine health monitoring, Mechanical Systems and Signal Processing, 115 (2019) 213-237.
- [3] L. Jing, M. Zhao, P. Li, X. Xu, A convolutional neural network based feature learning and fault diagnosis method for the condition monitoring of gearbox, Measurement,

لایه‌های مخفی شبکه پرسپترون، ۱۵۰، ۱۰۰ و نرخ یادگیری ۰/۰۰۰۱ در نظر گرفته شده است. جدول ۶ صحت الگوریتم پیشنهادی را در مقایسه با روش‌های مقایسه‌ای ارائه می‌دهد.

همان‌گونه که ملاحظه می‌شود وقتی از شبکه پیشنهادی با داده‌های فرکانسی سیگنال‌های زمانی بازسازی شده به عنوان ورودی استفاده می‌شود، صحت تشخیص عیوب مختلف تقریباً ۹۸٪ است. همچنین وقتی از شبکه پیشنهادی با داده‌های فرکانسی سیگنال‌های زمانی استفاده می‌شود، صحت تشخیص عیوب تقریباً ۹۴٪ است. وقتی از شبکه پرسپترون با داده‌های فرکانسی سیگنال‌های زمانی بازسازی شده و داده‌های فرکانسی سیگنال‌های زمانی به عنوان ورودی استفاده می‌شود، صحت بهتر تیب ۷۵٪ و ۸۱٪ می‌شود. در شکل ۱۳ نمودار پراکندگی<sup>۱</sup> [۲۲] برای داده‌های آزمون ارائه شده است. در این شکل پراکندگی نمونه‌های سیگنال خام زمانی، پراکندگی نمونه‌ها در لایه اول و چهارم کانولوشنال و همچنین پراکندگی نمونه‌ها در لایه اول تمام متصل نشان داده شده است. همان‌طور که از شکل ۱۴ ملاحظه می‌شود هر چه شبکه پیشنهادی عمیق‌تر می‌شود، جداسازی نمونه‌های کلاس‌های مختلف از یکدیگر راحت‌تر می‌شود.

## ۵- نتیجه‌گیری

در این مقاله روش جدیدی برای شناسایی و عیوب‌یابی سیستم‌های مکانیکی در حضور عدم قطعیت‌های مختلف بر پایه مدل المان محدود تحت بارگذاری ساده با یک نیروی تحریک تصادفی (مدل ساده شبیه‌سازی شده)، حالت سالم واقعی و شبکه عصبی عمیق ارائه شد. برای ارزیابی روش پیشنهادی از سازه تیری شکل تحت بارگذاری پیچیده‌تر با دو نیروی تحریک تصادفی در محیط آزمایشگاهی (مدل آزمایشگاهی) استفاده شد. بهروزرسانی پارامترهای مدل شبیه‌سازی شده بر پایه داده‌های سالم مدل آزمایشگاهی انجام گرفت. برخی از بخش‌های سیگنال‌ها که مربوط به ذات سیستم نیستند با استفاده از روش تجزیه مود تجربی دسته‌ای حذف شدند. یک شبکه کانولوشنال عمیق برای یادگیری ویژگی‌ها از داده‌های فرکانسی و شناسایی عیوب سازه طراحی شد. داده‌های فرکانسی با استفاده از روش چگالی طیفی توان از پاسخ‌های دینامیکی به دست آمدند. برای

- 17(4) (2018) 747-762.
- [14] W. Weaver Jr, P.R. Johnston, Structural dynamics by finite elements, Prentice-Hall Englewood Cliffs (NJ), 1987.
- [15] I. Chowdhury, S.P. Dasgupta, Computation of Rayleigh damping coefficients for large systems, *The Electronic Journal of Geotechnical Engineering*, 8(0) (2003) 1-11.
- [16] S. Wu, S. Law, Vehicle axle load identification on bridge deck with irregular road surface profile, *Engineering Structures*, 33(2) (2011) 591-601.
- [17] S. Varahram, P. Jalali, M.H. Sadeghi, S. Lotfan, Experimental Study on the Effect of Excitation Type on the Output-Only Modal Analysis Results, *Transactions of FAMENA*, 43(3) (2019) 37-52.
- [18] M.E. Torres, M.A. Colominas, G. Schlotthauer, P. Flandrin, A complete ensemble empirical mode decomposition with adaptive noise, in: 2011 IEEE international conference on acoustics, speech and signal processing (ICASSP), IEEE, 2011, pp. 4144-4147.
- [19] I. Goodfellow, Y. Bengio, A. Courville, Deep learning, MIT press, 2016.
- [20] S.-L. Hung, H. Adeli, Parallel backpropagation learning algorithms on Cray Y-MP8/864 supercomputer, *Neurocomputing*, 5(6) (1993) 287-302.
- [21] Z. Mousavi, T.Y. Rezaii, S. Shekhvand, A. Farzamnia, S. Razavi, Deep convolutional neural network for classification of sleep stages from single-channel EEG signals, *Journal of neuroscience methods*, (2019) 108312.
- [22] W. Zhang, C. Li, G. Peng, Y. Chen, Z. Zhang, A deep convolutional neural network with new training methods for bearing fault diagnosis under noisy environment and different working load, *Mechanical Systems and Signal Processing*, 100 (2018) 439-453.
- [23] A. Mojtabaei, M.L. Yaghin, Y. Hassanzadeh, M. Ettefagh, M. Aminfar, A. Aghdam, Developing a robust SHM method for offshore jacket platform using model updating and fuzzy logic system, *Applied Ocean Research*, 33(4) (2011) 398-411.
- [24] A. Mosallam, T. Zirakian, A. Abdelaal, A. Bayraktar, Health monitoring of a steel moment-resisting frame subjected to seismic loads, *Journal of Constructional Steel*
- 111 (2017) 1-10.
- [4] F. Jia, Y. Lei, J. Lin, X. Zhou, N. Lu, Deep neural networks: A promising tool for fault characteristic mining and intelligent diagnosis of rotating machinery with massive data, *Mechanical Systems and Signal Processing*, 72 (2016) 303-315.
- [5] O. Abdeljaber, O. Avci, S. Kiranyaz, M. Gabbouj, D.J. Inman, Real-time vibration-based structural damage detection using one-dimensional convolutional neural networks, *Journal of Sound and Vibration*, 388 (2017) 154-170.
- [6] F. Jia, Y. Lei, L. Guo, J. Lin, S. Xing, A neural network constructed by deep learning technique and its application to intelligent fault diagnosis of machines, *Neurocomputing*, 272 (2018) 619-628.
- [7] W. Zhang, G. Peng, C. Li, Y. Chen, Z. Zhang, A new deep learning model for fault diagnosis with good anti-noise and domain adaptation ability on raw vibration signals, *Sensors*, 17(2) (2017) 425.
- [8] M. Turner, Stiffness and deflection analysis of complex structures, *journal of the Aeronautical Sciences*, 23(9) (1956) 805-823.
- [9] Y.z. Lin, Z.h. Nie, H.w. Ma, Structural damage detection with automatic feature-extraction through deep learning, *Computer-Aided Civil and Infrastructure Engineering*, 32(12) (2017) 1025-1046.
- [10] J. Guo, J. Wu, J. Guo, Z. Jiang, A Damage Identification Approach for Offshore Jacket Platforms Using Partial Modal Results and Artificial Neural Networks, *Applied Sciences*, 8(11) (2018) 2173.
- [11] J. Gu, M. Gul, X. Wu, Damage detection under varying temperature using artificial neural networks, *Structural Control and Health Monitoring*, 24(11) (2017) e1998.
- [12] Y. Chen, G. Peng, C. Xie, W. Zhang, C. Li, S. Liu, ACDIN: Bridging the gap between artificial and real bearing damages for bearing fault diagnosis, *Neurocomputing*, 294 (2018) 61-71.
- [13] M. Fallahian, F. Khoshnoudian, V. Meruane, Ensemble classification method for structural damage assessment under varying temperature, *Structural Health Monitoring*,

- models for the MARK-AGE data, *Mechanisms of ageing and development*, 151 (2015) 45-53.
- [28] S.S. Rao, F.F. YAP, *Upper Saddle River: Mechanical vibrations*, in, Prentice Hall, 2011.
- [29] S. Kim, J.-H. Choi, Convolutional neural network for gear fault diagnosis based on signal segmentation approach, *Structural Health Monitoring*, 18(5-6) (2019) 1401-1415.
- [30] M. Hagan, H. Demuth, M. Beale, O. De Jesús, *Neural network design* vol. 20: Pws Pub, in, Boston, 1996.
- [31] V.N. Ghate, S.V. Dudul, Optimal MLP neural network classifier for fault detection of three phase induction motor, *Expert Systems with Applications*, 37(4) (2010) 3468-3481.
- Research, 140 (2018) 34-46.
- [25] Z. Ding, J. Li, H. Hao, Z.-R. Lu, Structural damage identification with uncertain modelling error and measurement noise by clustering based tree seeds algorithm, *Engineering Structures*, 185 (2019) 301-314.
- [26] E. Barton, C. Middleton, K. Koo, L. Crocker, J. Brownjohn, Structural finite element model updating using vibration tests and modal analysis for NPL Footbridge-SHM demonstrator, in: *Journal of Physics: Conference Series*, IOP Publishing, 2011, pp. 012105.
- [27] E. Giampieri, D. Remondini, M.G. Bacalini, P. Garagnani, C. Pirazzini, S.L. Yani, C. Giuliani, G. Menichetti, I. Zironi, C. Sala, Statistical strategies and stochastic predictive

چگونه به این مقاله ارجاع دهیم

Z. Mousavia, M.M. Ettefagh, M.H. Sadeghi, S.N. Razavi, *Identification and damage detection of beam-like structure using vibration signals based on simulated model, real healthy state and deep convolutional neural network*, *AmirKabir J. Mech Eng.*, 53(4) (2021) 2193-2216.

DOI: [10.22060/mej.2020.17380.6586](https://doi.org/10.22060/mej.2020.17380.6586)



